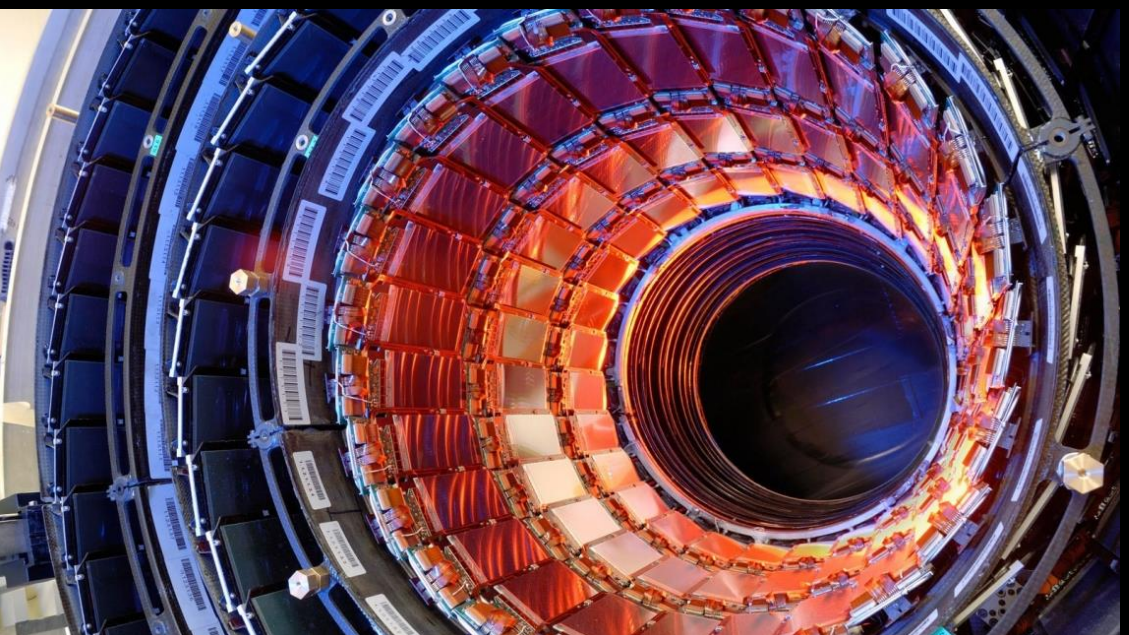
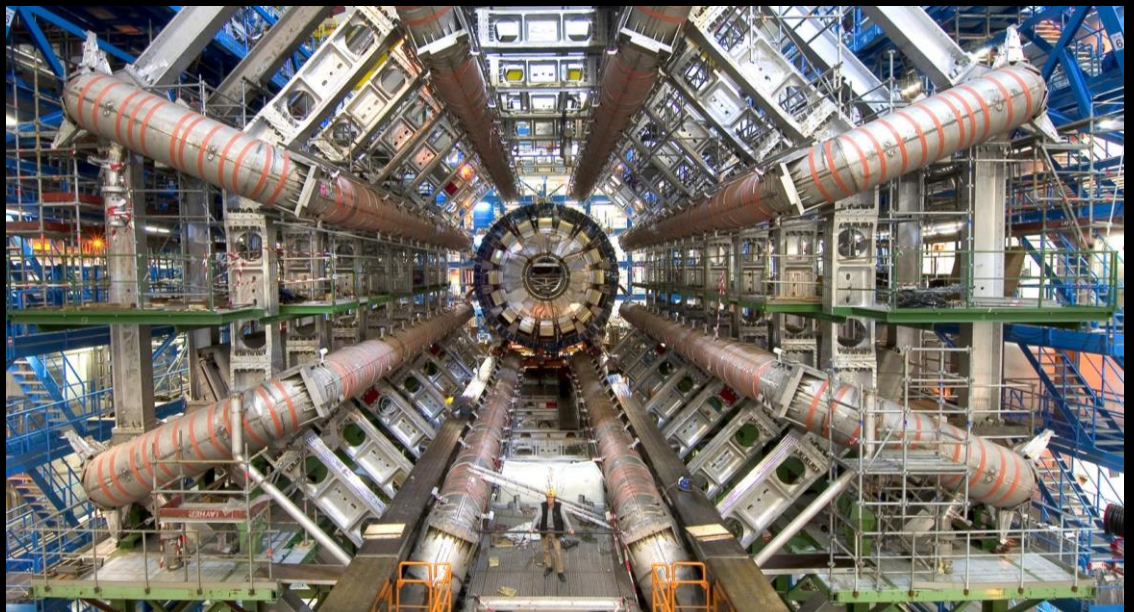
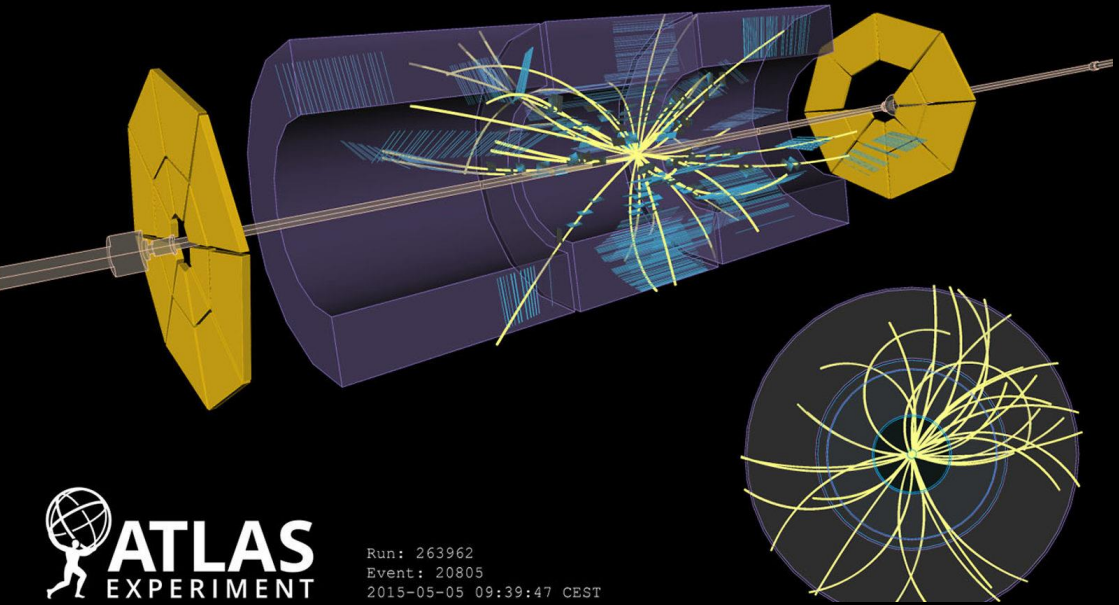
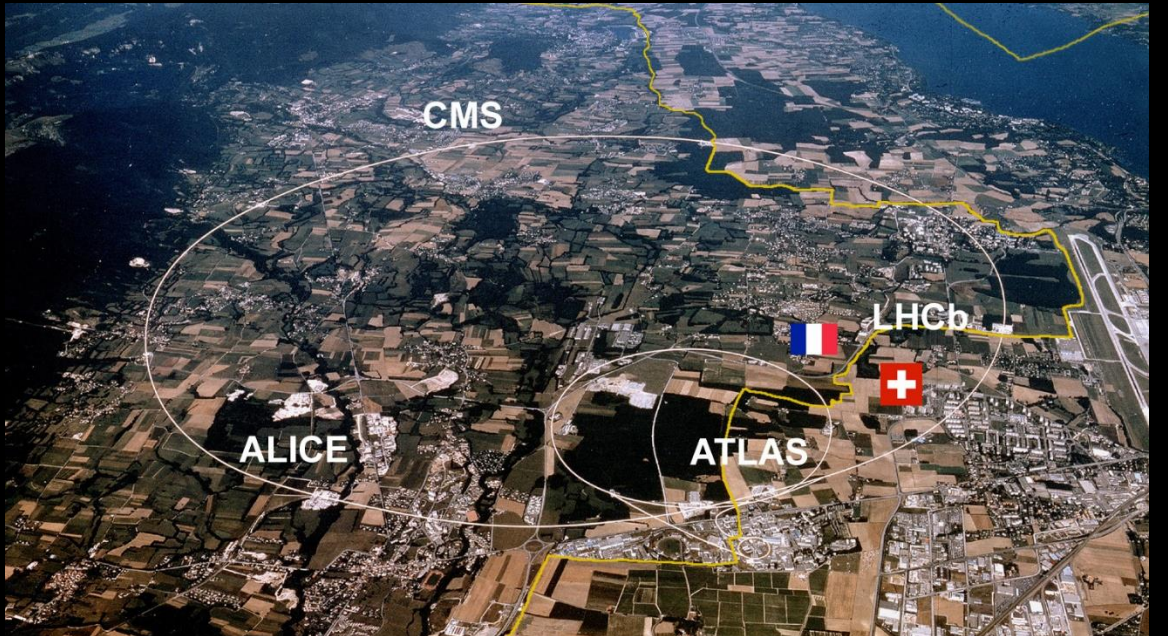


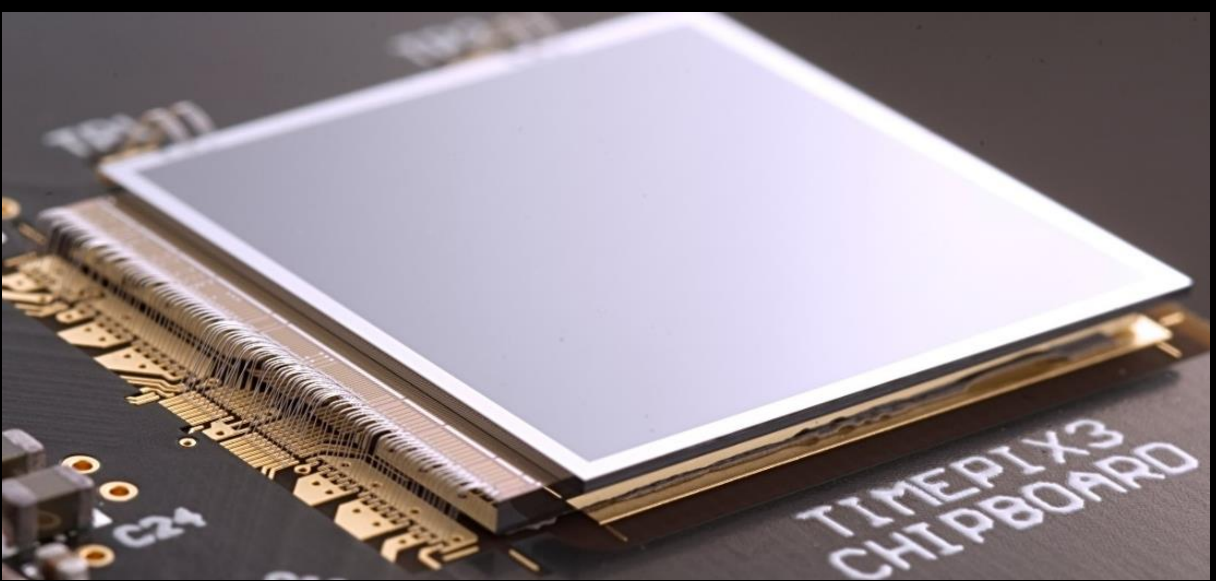
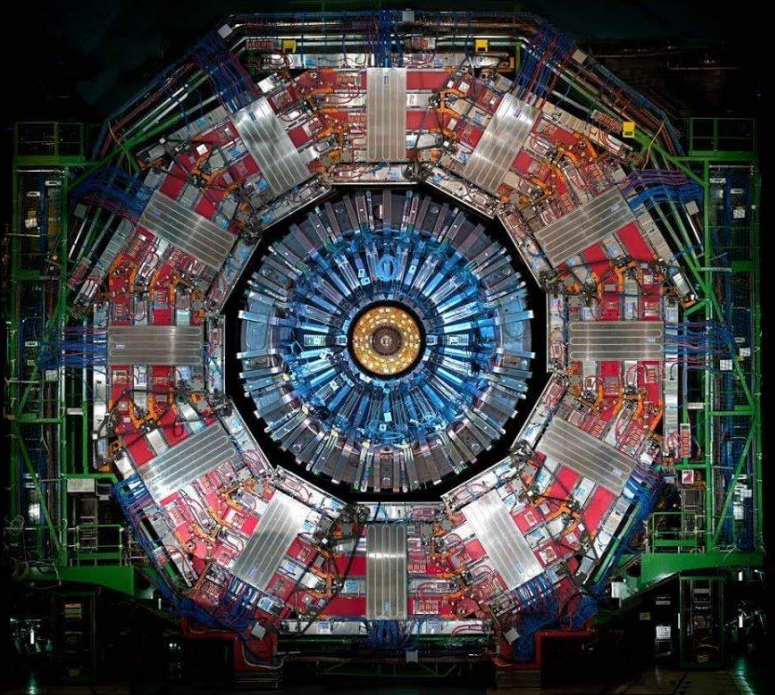
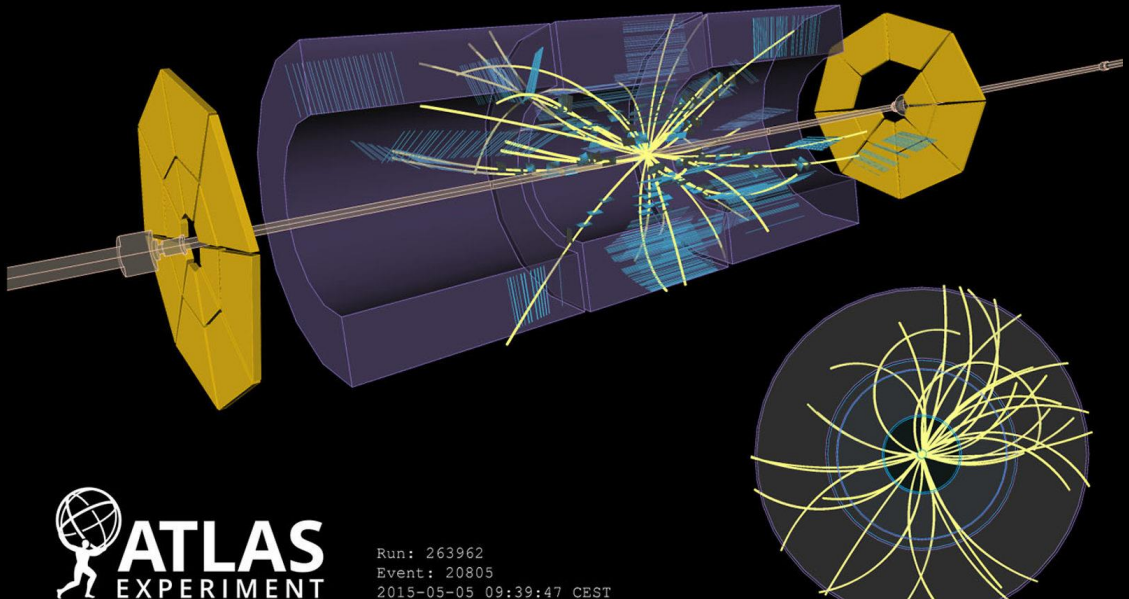
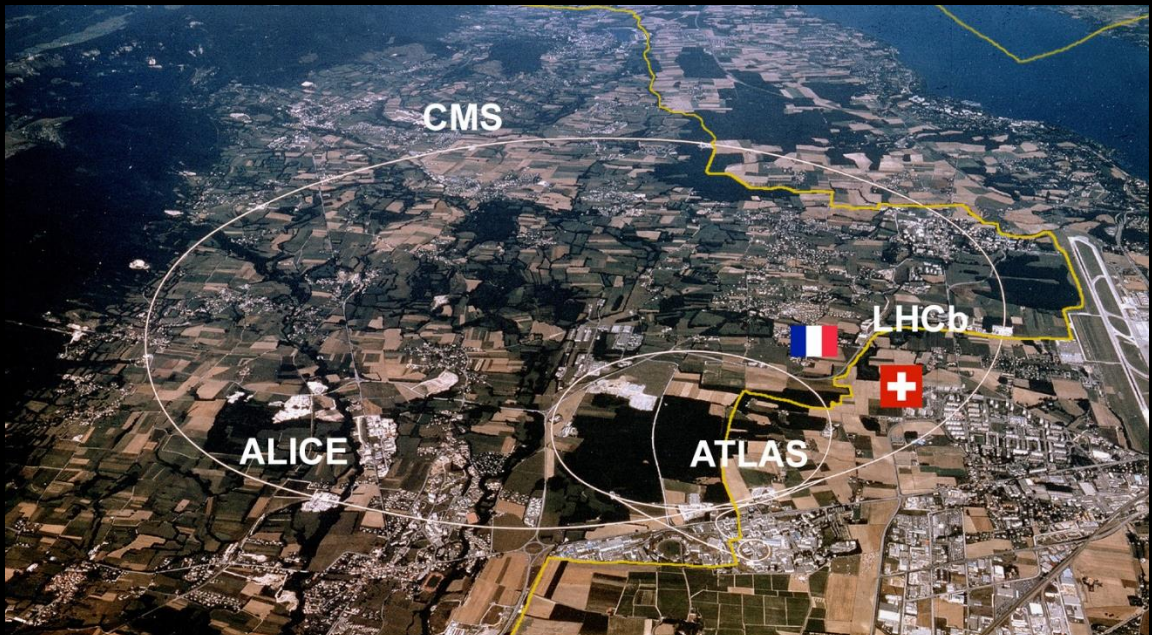
Medipix: Transformando Tecnología de Física de Altas Energías en Innovación Educativa

Rafael Ballabriga Suñé

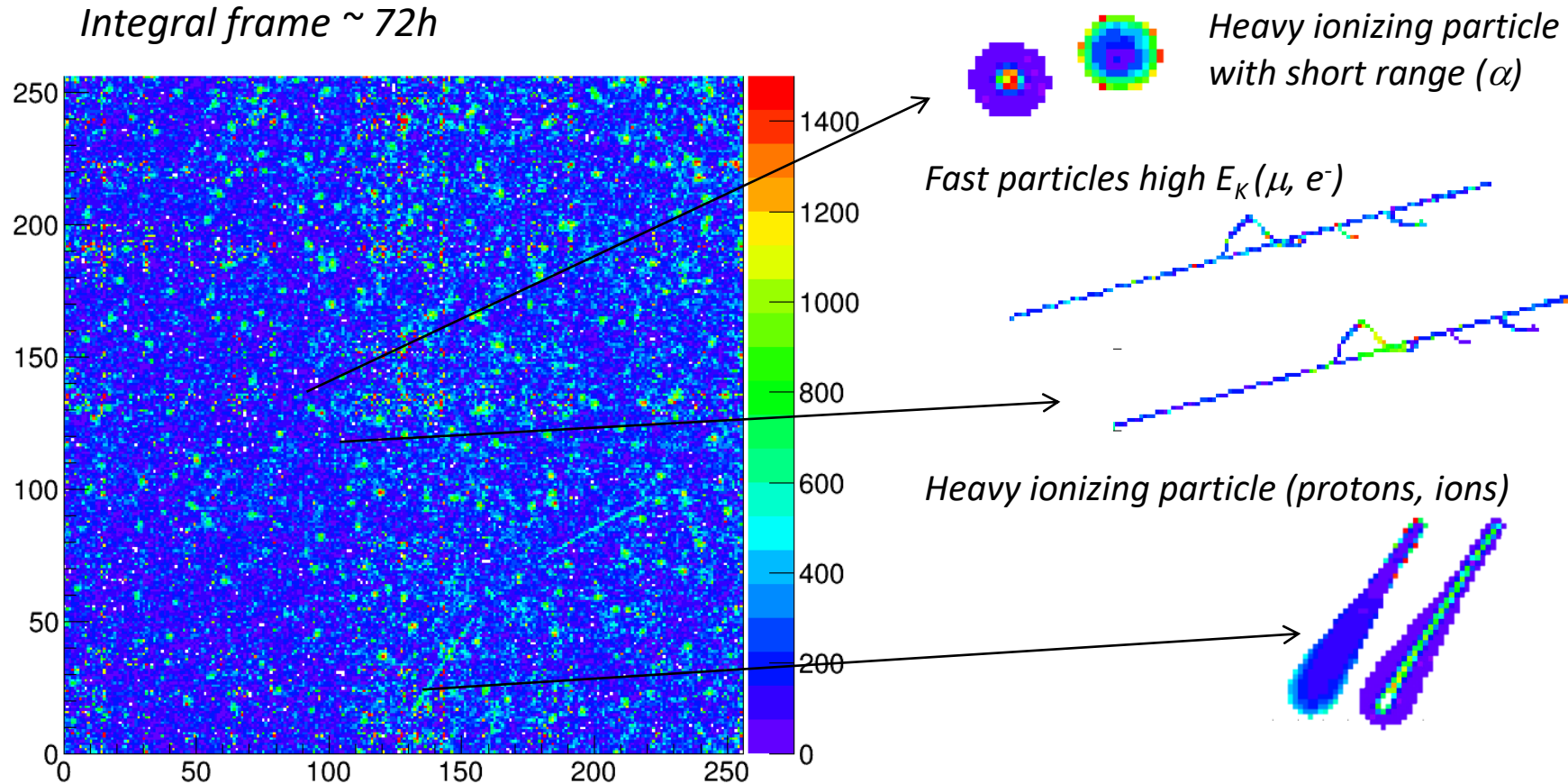
rafael.ballabriga@cern.ch

Sección de Microelectrónica, CERN



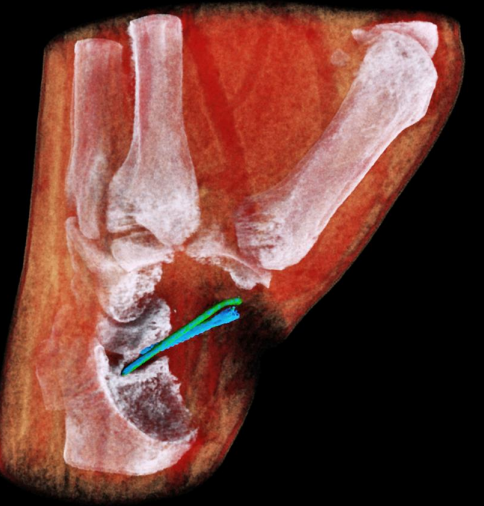


Any particle that creates a signal $>600e^-$ can be detected
... and the shape of the signal tells us about the type of particle

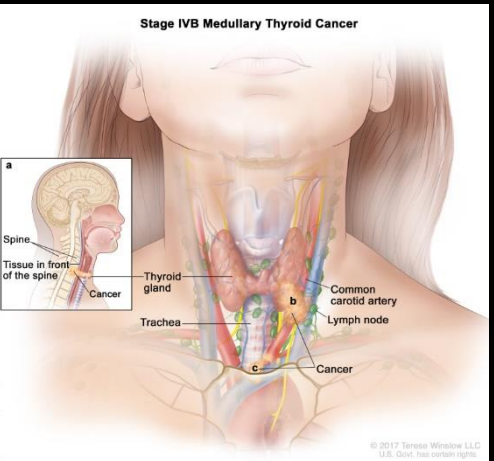


Timepix chip: matrix of 256x256 pixels

Different particles present a different signature in their interaction with the pixelated semiconductor detector



Radiography



Thyroid gland cancer treatment

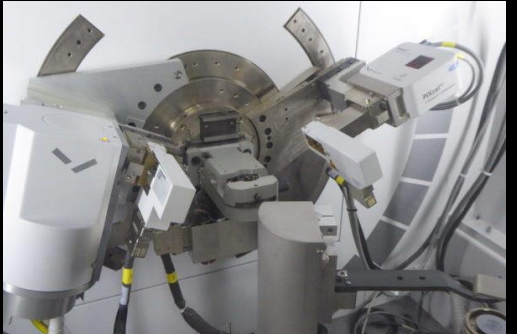


Space dosimetry

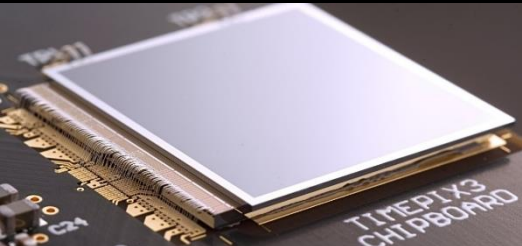


 diamond  Science & Technology Facilities Council

Synchrotron



Material analysis



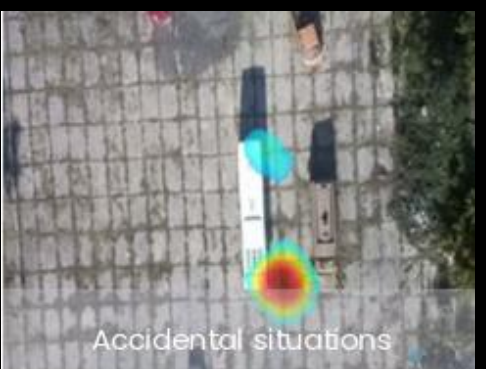
DETECTOR TECHNOLOGY



Homeland security



Waste management



Accidental situations



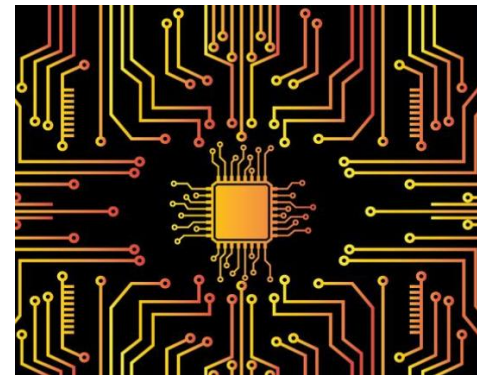
Operational radioprotection



Education



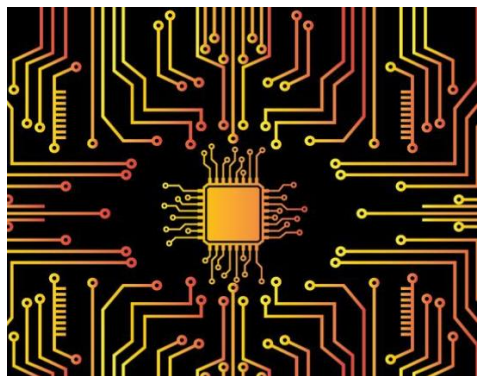
Fundamental research



Technology



Spin-back



Technology
improvements, retention
of know-how, positive
impact on society



Industry and other
scientific fields, benefits
in applications, job
creation



Education

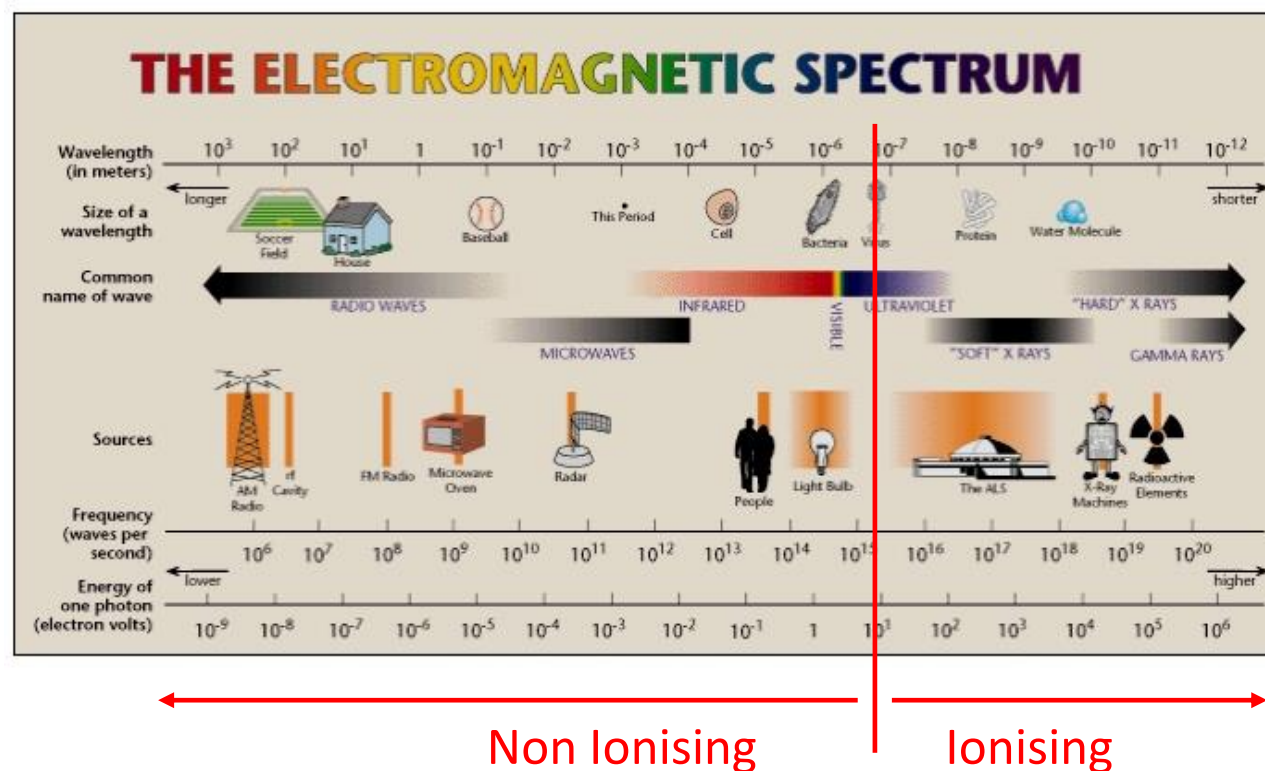
Índice

- Introducción
- Introducción a los detectores de píxeles híbridos
- Colaboraciones Medipix
- Aplicaciones
 - Radiografía
 - Educación
- Resumen

Introducción: La radiación ionizante

La radiación ionizante

- La radiación es la emisión o propagación de energía en forma de ondas o partículas a través del espacio o de un medio material.
- La radiación ionizante se refiere a un tipo de radiación que posee suficiente energía para eliminar electrones fuertemente ligados de átomos o moléculas, lo que resulta en la creación de iones. Estos iones pueden tener un impacto significativo en tejidos biológicos y otros materiales. La radiación ionizante puede estar en forma de partículas (α , β , muones (μ), neutrones) u ondas electromagnéticas (rayos X, rayos γ).



Sources of Annual Dose to the Population

natural
external

artificial

| Radiation source | World ^[2] | US ^[3] | Japan ^[4] | Remark |
|-----------------------------------|----------------------|-------------------|----------------------|----------------------------------------------------------------------------------------------------------------------------------------------------------------|
| Inhalation of air | 1.26 | 2.28 | 0.40 | mainly from radon, depends on indoor accumulation |
| Ingestion of food & water | 0.29 | 0.28 | 0.40 | (K-40, C-14, etc.) |
| Terrestrial radiation from ground | 0.48 | 0.21 | 0.40 | depends on soil and building material |
| Cosmic radiation from space | 0.39 | 0.33 | 0.30 | depends on altitude |
| sub total (natural) | 2.40 | 3.10 | 1.50 | sizeable population groups receive 10–20 mSv |
| Medical | 0.60 | 3.00 | 2.30 | worldwide figure excludes radiotherapy; US figure is mostly CT scans and nuclear medicine. |
| Consumer items | – | 0.13 | | cigarettes, air travel, building materials, etc. |
| Atmospheric nuclear testing | 0.005 | – | 0.01 | peak of 0.11 mSv in 1963 and declining since; higher near sites |
| Occupational exposure | 0.005 | 0.005 | 0.01 | worldwide average to workers only is 0.7 mSv, mostly due to radon in mines; ^[2] US is mostly due to medical and aviation workers. ^[3] |
| Chernobyl accident | 0.002 | – | 0.01 | peak of 0.04 mSv in 1986 and declining since; higher near site |
| Nuclear fuel cycle | 0.0002 | | 0.001 | up to 0.02 mSv near sites; excludes occupational exposure |
| Other | – | 0.003 | | Industrial, security, medical, educational, and research |
| sub total (artificial) | 0.61 | 3.14 | 2.33 | |
| Total | 3.01 | 6.24 | 3.83 | millisieverts per year |

mSv is a unit for equivalent dose intended to represent the health risk of ionizing radiation.

Equivalent dose (H) = Absorbed dose (D) [joules/kilogram] x Quality factor (Q)

Q=f(radiation type, biological context) (ex. W α particle=20x W photon.)

In the US and Japan artificial exposure is, on average, greater than the natural exposure, due to greater access to medical imaging

A 70 kg human body contains about 140 grams of potassium, hence about $0.000117 \times 140 = 0.0164$ grams of ^{40}K ; whose decay produces about 3,850 to 4,300 disintegrations per second (becquerel) continuously throughout the life of the person.

1 banana $\sim 0.1\mu\text{s}$

Radionuclides of concern:
Thorium (^{232}Th), Uranium (^{238}U) and (^{40}K) Potassium and their decay products

Radioactive materials, like ^{210}Po and ^{210}Pb are found naturally in the soil and air. They are also found in the high-phosphate fertilizers that farmers use on their crops. Polonium-210 and lead-210 get into and onto tobacco leaves and remain there even after the tobacco has been processed.

Introducción: La radiación ionizante



- La radiación ionizante está presente en el ambiente sin que necesariamente haya una fuente radioactiva artificial.
- La dosis se calcula a partir de aplicar un factor de calidad que depende del contexto biológico y del tipo de partícula.

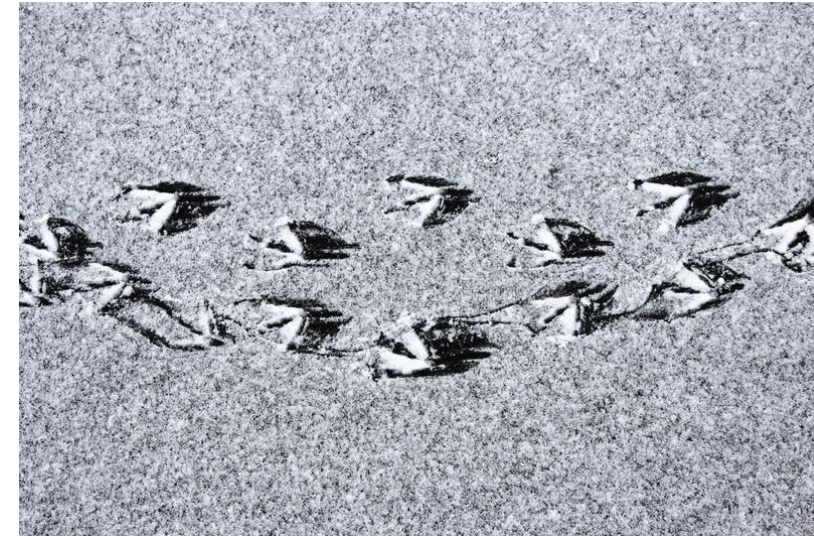
Introducción: La detección de partículas

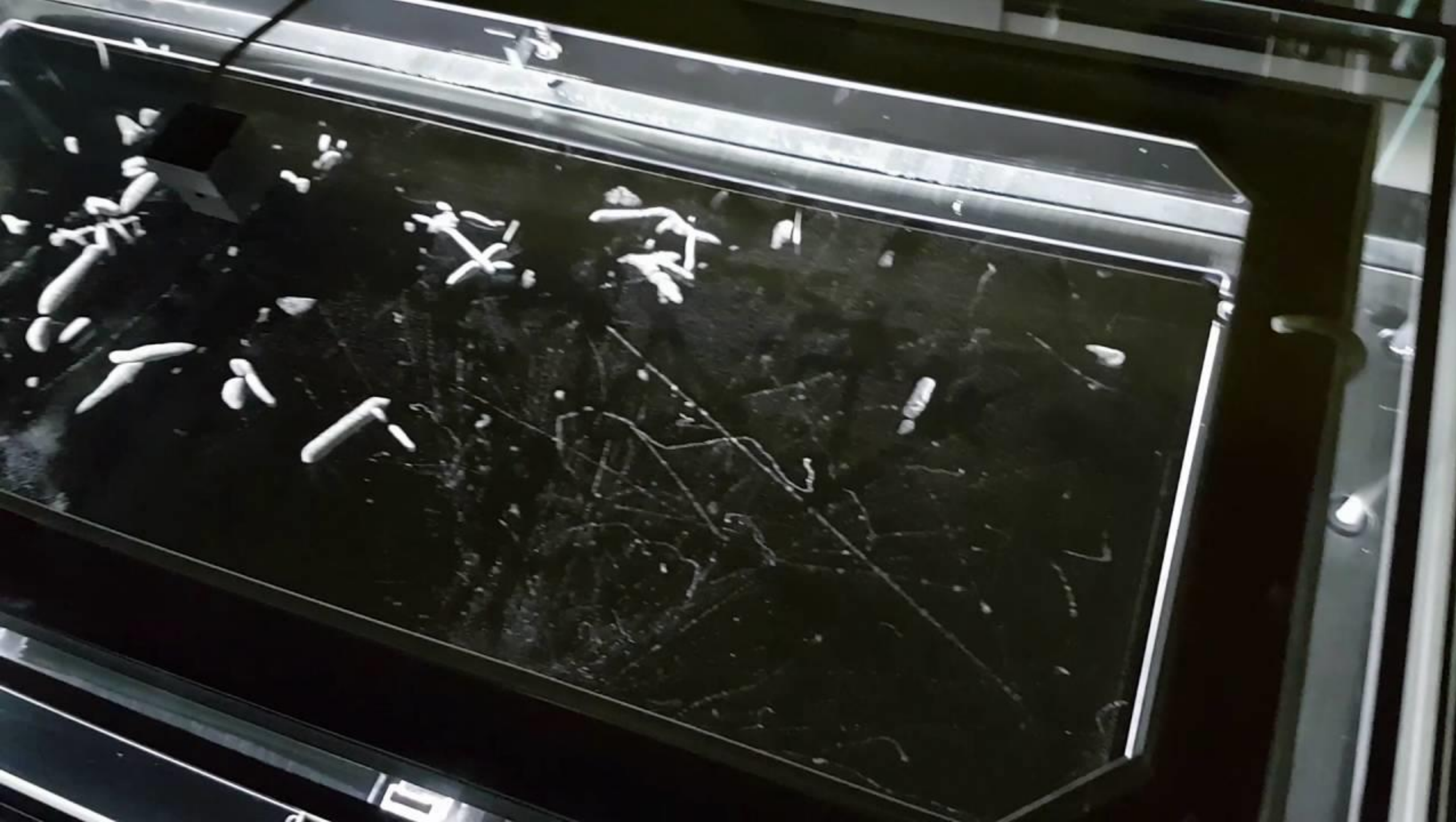


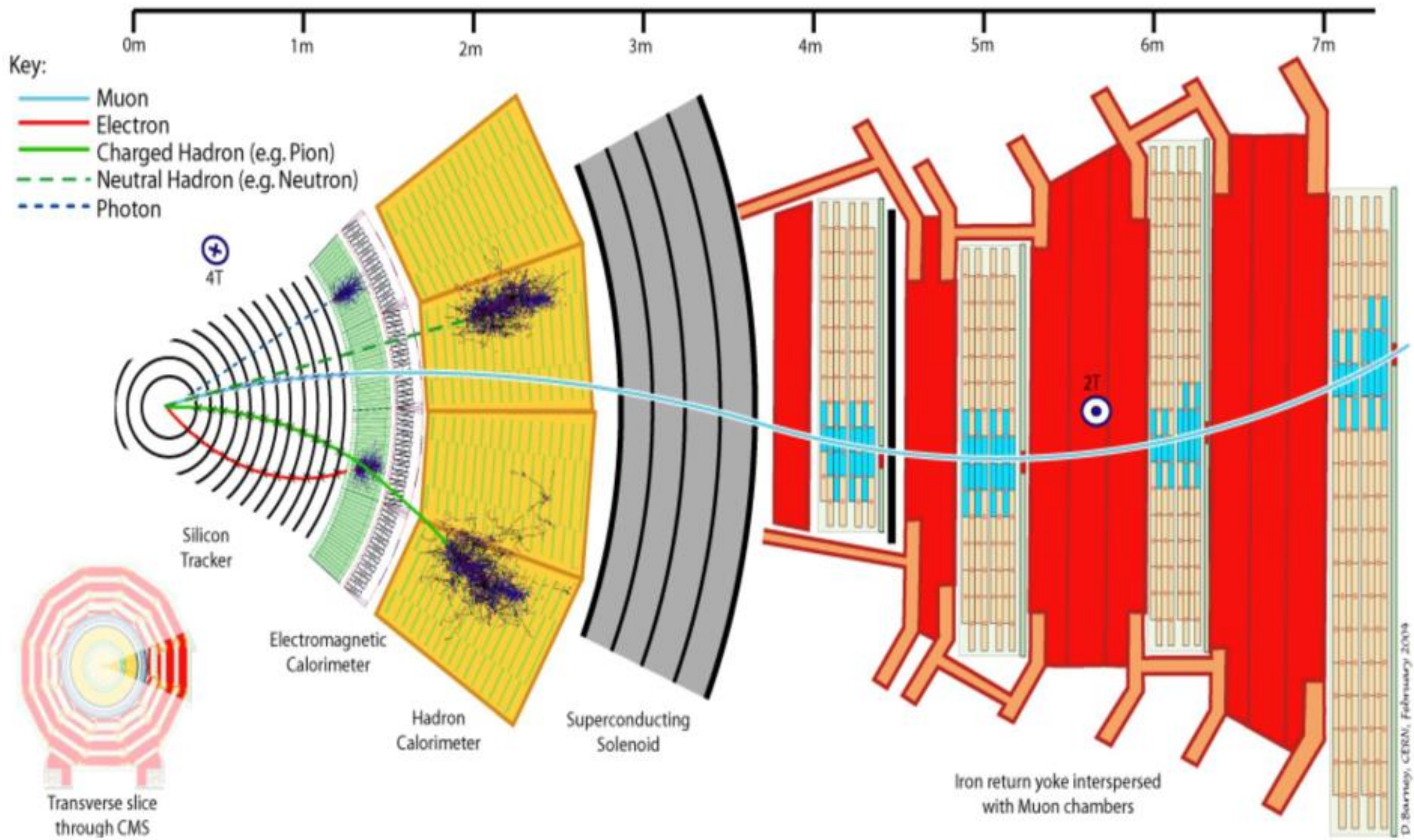
"Detector: instrumento que sirve para descubrir la presencia de algo a través de indicios"

Detección de partículas

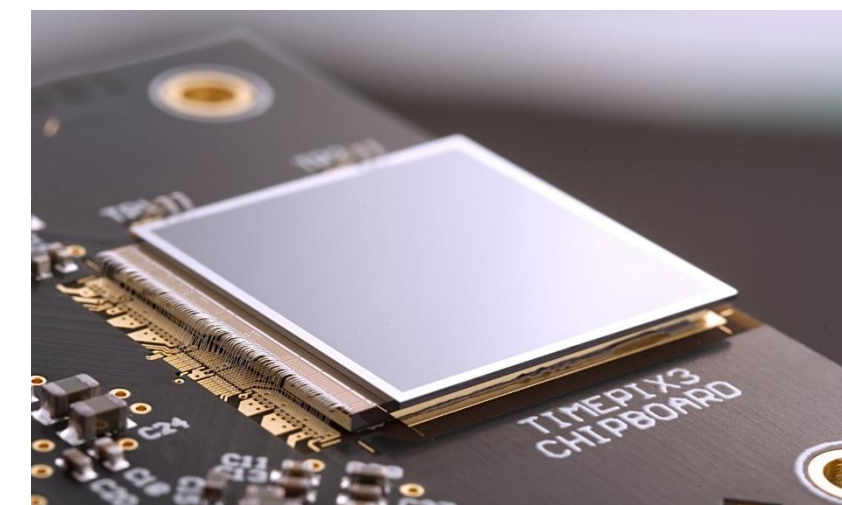
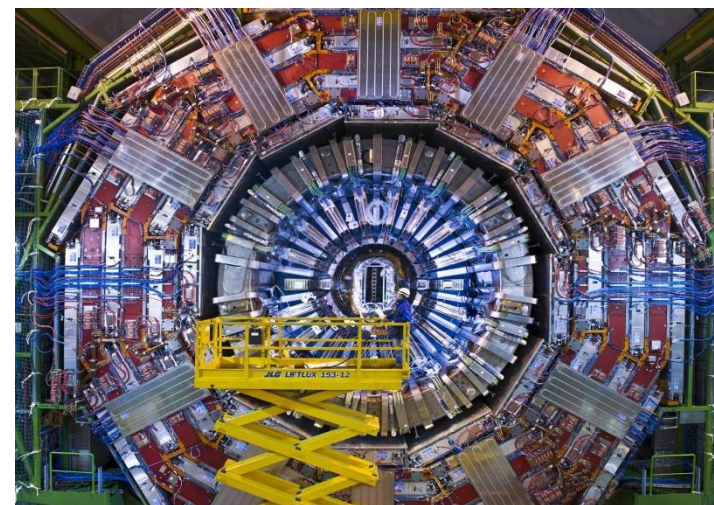
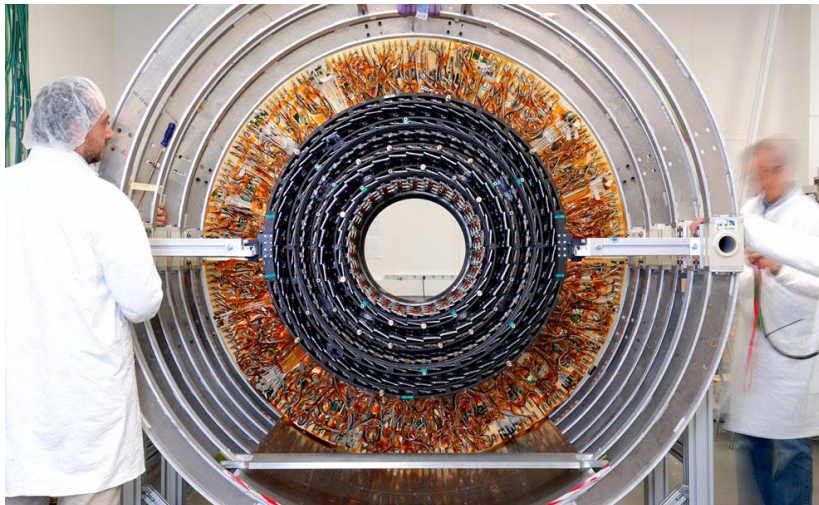
- Podemos reconocer las partículas por sus "huellas"
- Estas huellas indican de qué **tipo** de partícula se trata, su **energía**, la **carga eléctrica**, el punto donde se creó y su **trayectoria**
- Las huellas dependen no solo del tipo de partícula sino también del material del detector







Detectores de trazas



Especificaciones de los detectores de trazas (tracking detector):

- Procesado individual de la señal depositada en el sensor para cada partícula
- Asignación de las partículas al instante de la colisión (25ns/40MHz)
- Resolución espacial del orden de decenas de micrómetros
- Masa mínima
- Bajo consumo de potencia
- Resistencia a la radiación

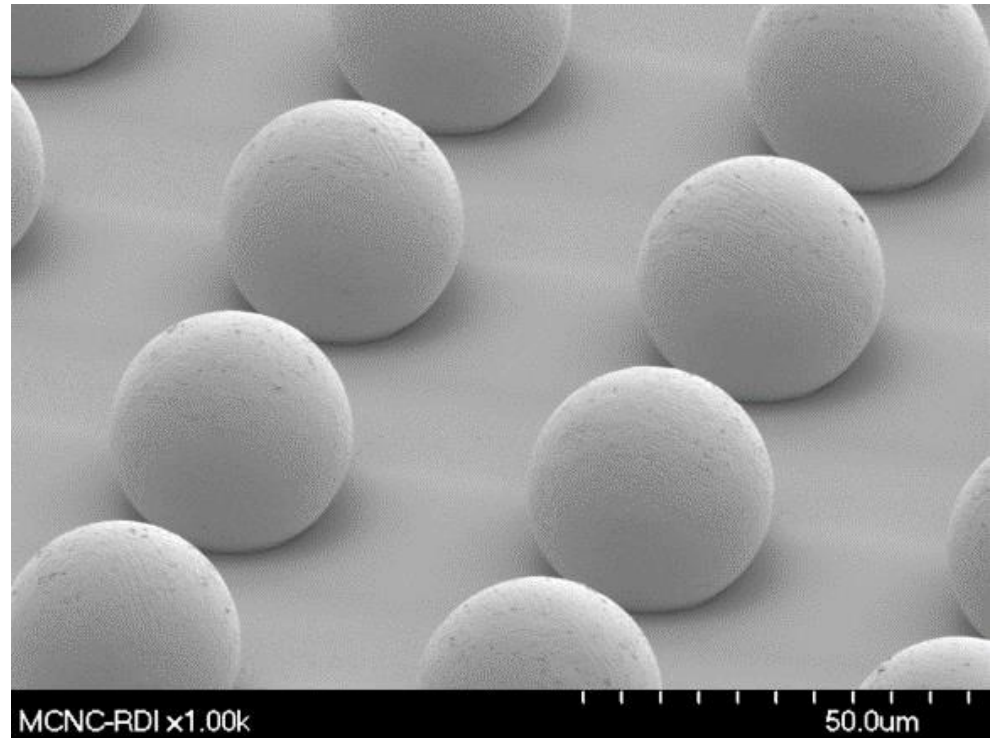
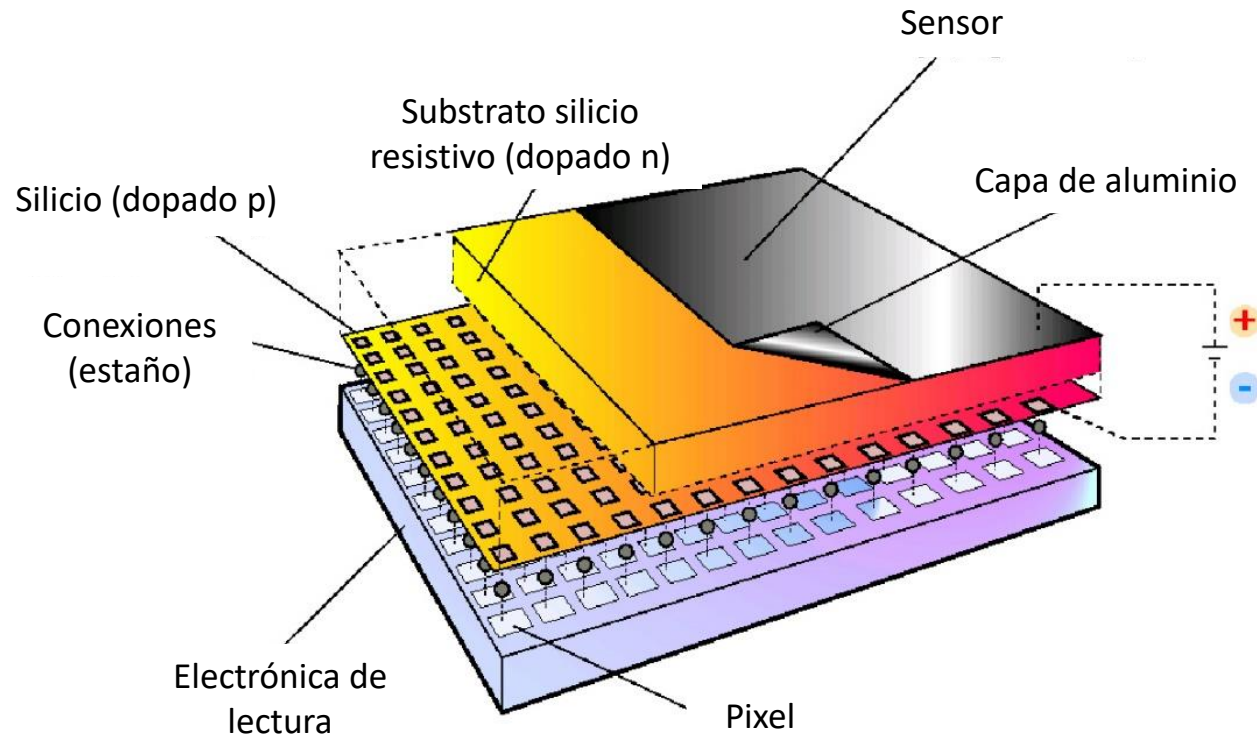
Actualmente solamente la tecnología de pixeles híbridos cumple con estas especificaciones

Introducción: La detección de partículas



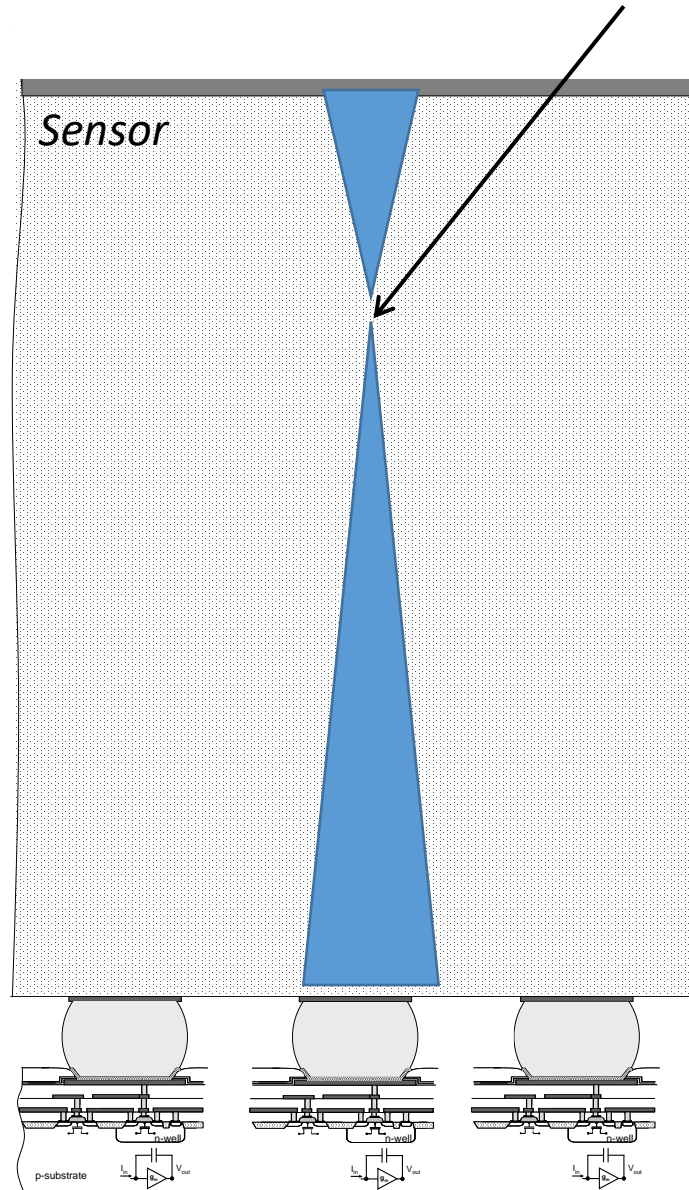
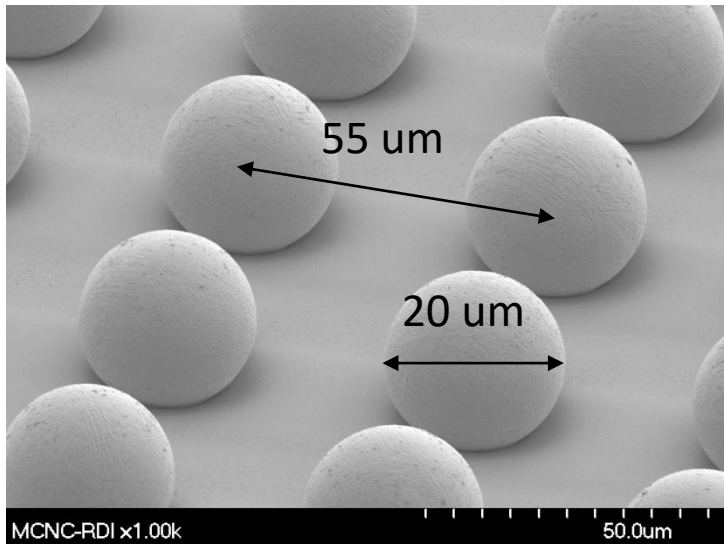
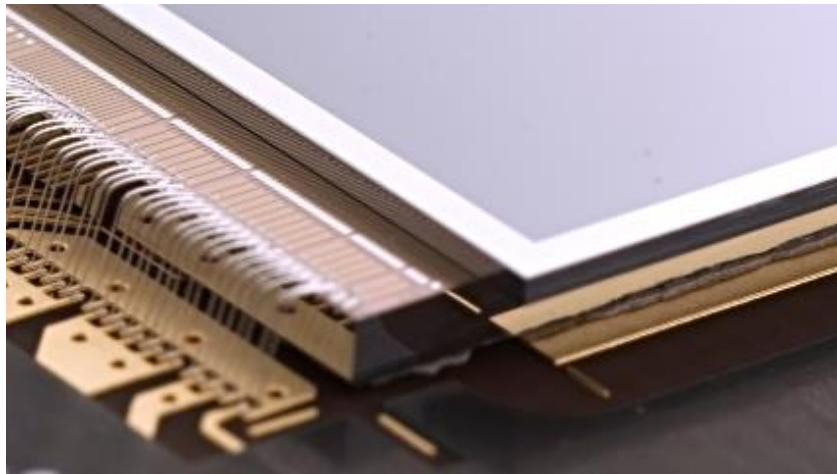
- No podemos ver las partículas, pero podemos descubrir su presencia a través de las huellas que dejan en un material detector.
- Cada partícula tiene una forma "característica" de interactuar al pasar por un material.
- Podemos utilizar esta característica para la identificación de partículas.

Introducción a los detectores de píxeles híbridos



- Un detector de píxeles híbrido es una matriz de elementos microscópicos sensibles a la radiación cada uno de los cuales está conectado a su propia electrónica de lectura
- El sensor y la electrónica están implementados en substratos diferentes y se pueden optimizar por separado

Los detectores híbridos

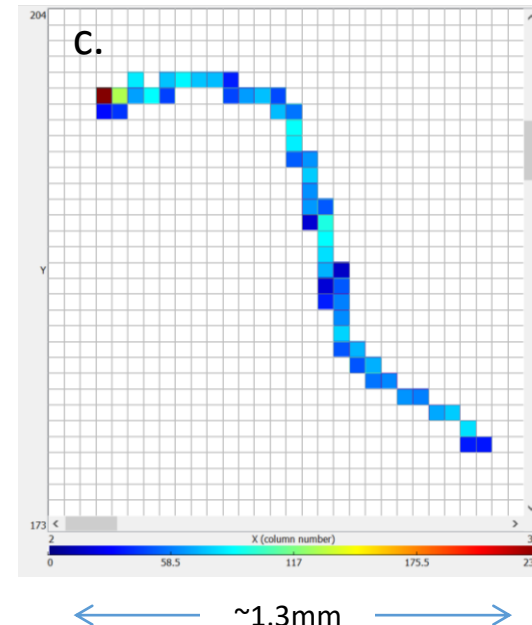
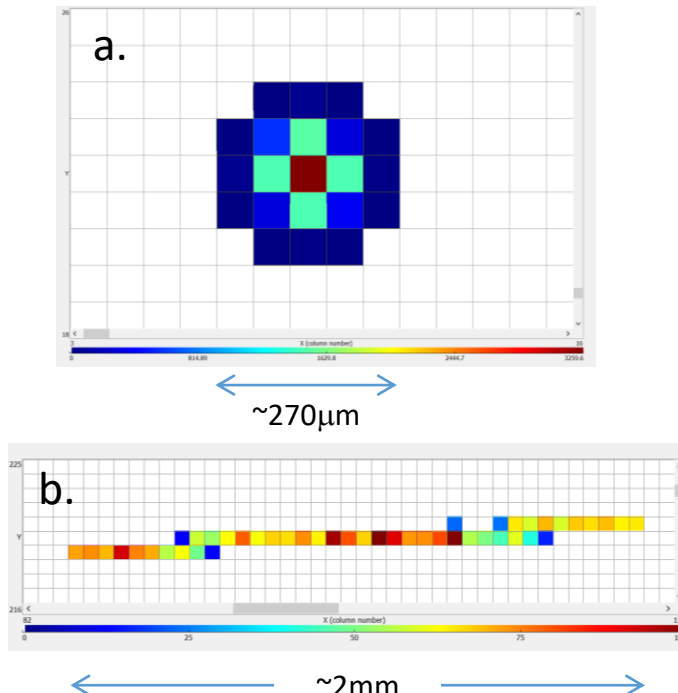


Information from the incoming beam

- The number of particles deposited during a given exposure time
- The energy deposited by an individual particle
- The time of arrival of the particle

Information from the incoming beam

- The number of particles deposited during a given exposure time
- The energy deposited by an individual particle
- The time of arrival of the particle
- The incoming type of particle, based on the shape of the cluster of pixels responding to a single charge deposition event

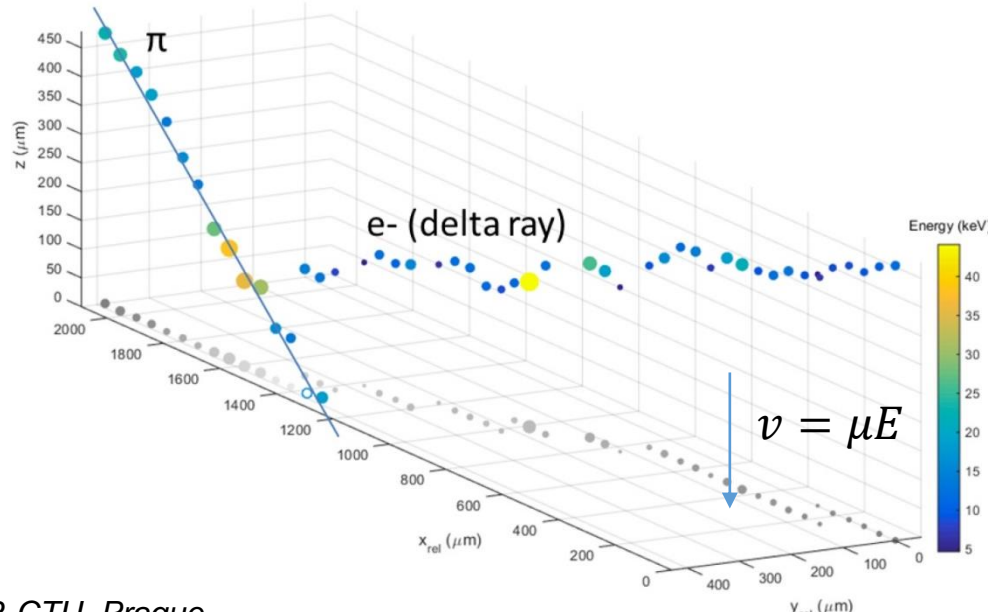


a. Alpha particle, b. Muon, c. Electron
Timepix data, $55\mu\text{m}$ pixels

Information from the incoming beam

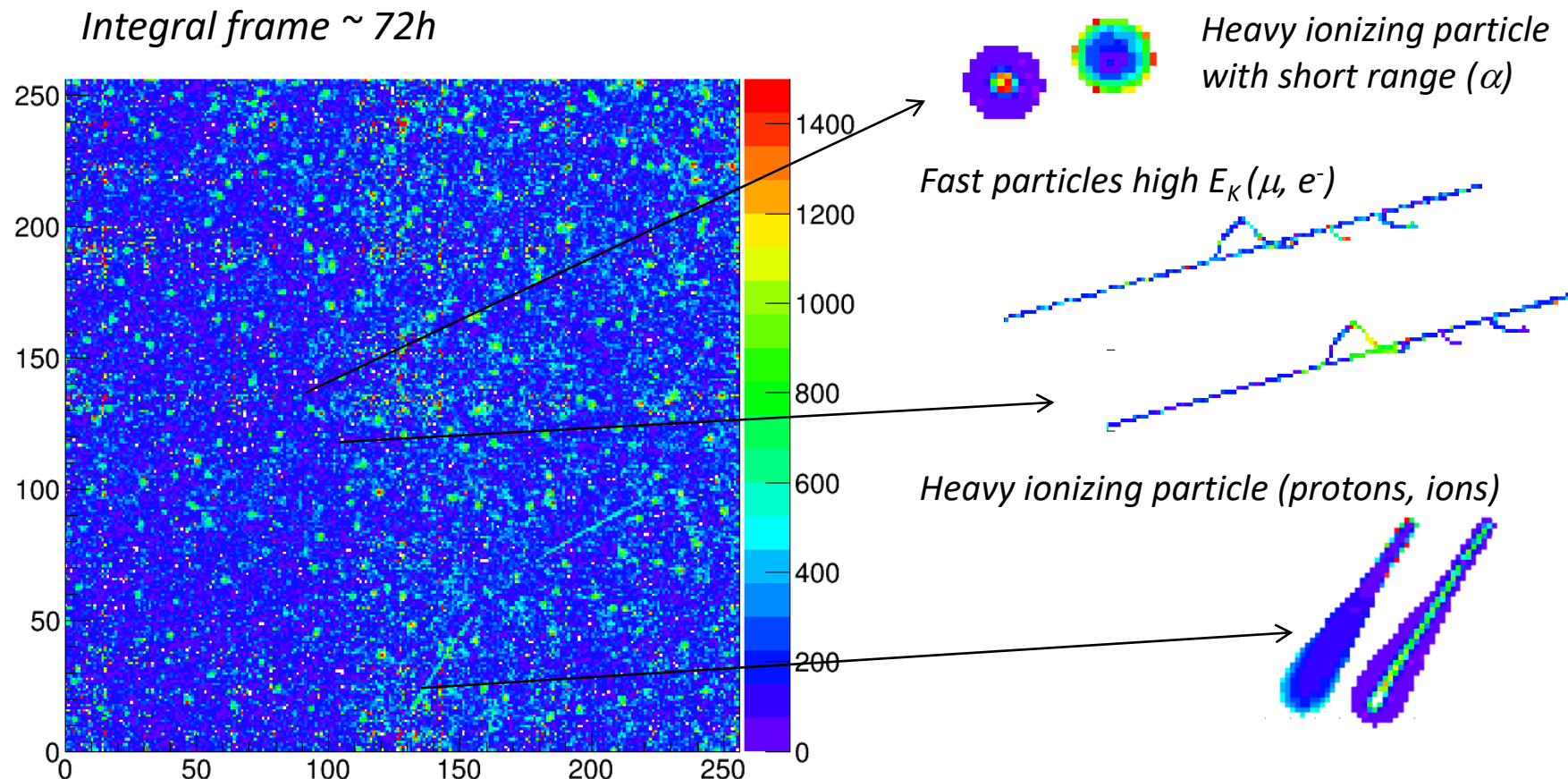
- The number of particles deposited during a given exposure time
- The energy deposited by an individual particle
- The time of arrival of the particle
- The incoming type of particle, based on the shape of the cluster of pixels responding to a single charge deposition event
- The angle of incidence of the incoming charged particle based on the difference in the induced signal time of the drifting charge in the different pixels

60 deg
p+ in n Si sensor, Timepix3
500 μ m thick
 $V_{bias} = 130V$
Colour (and diameter) indicate charge
Measured z resolution ~50 μ m



Demostración

Energy and time measurements with cosmic particles



Timepix chip: matrix of 256x256 pixels

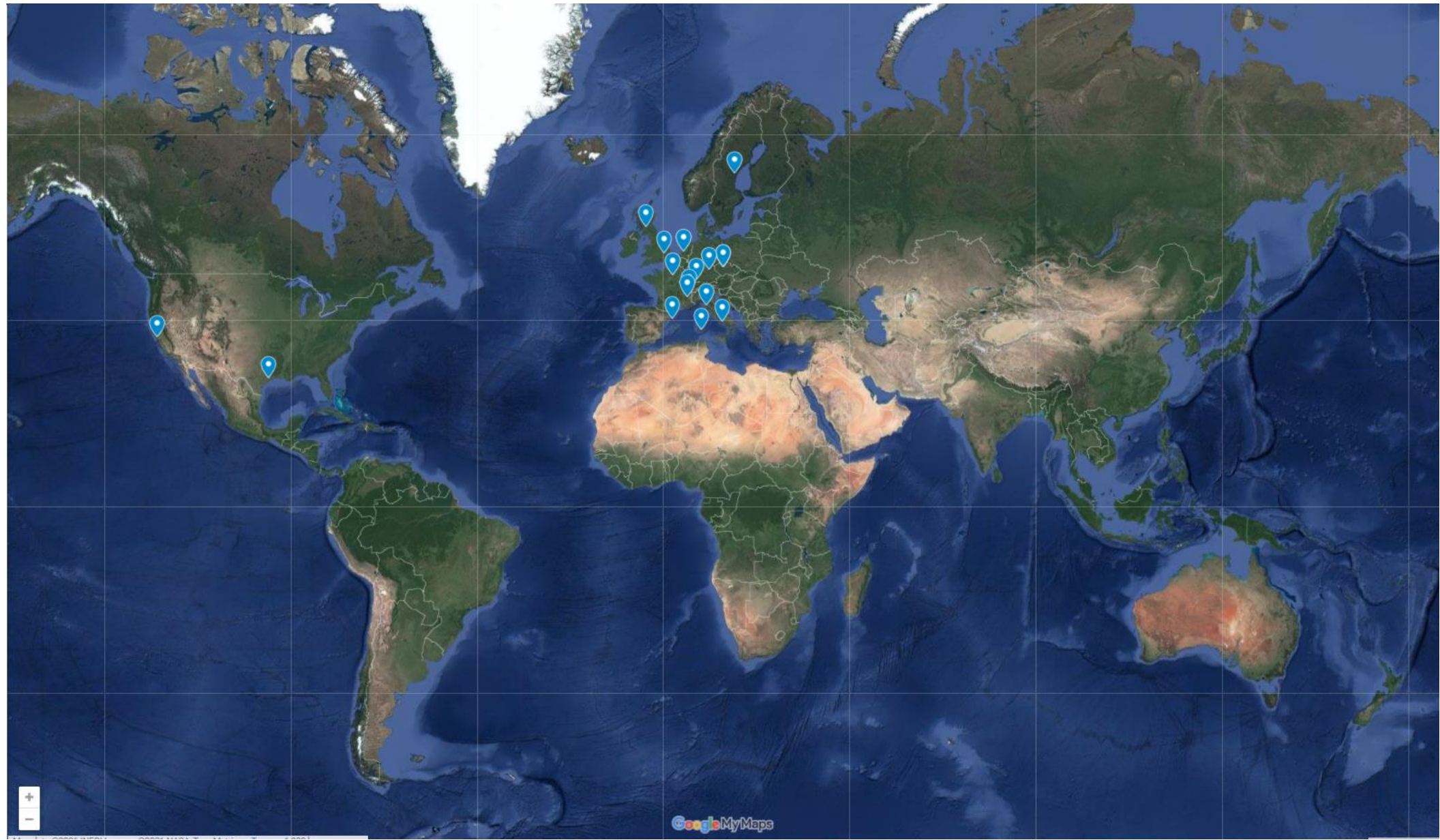
Different particles present a different signature in their interaction with the pixelated semiconductor detector

Introducción a los detectores de píxeles híbridos



- Un detector de píxeles híbrido consiste en un sensor segmentado conectado a la electrónica de lectura.
- El sensor convierte la energía depositada por la partícula (total o parcialmente) en señal eléctrica y la electrónica de lectura procesa esa señal.
- Podemos medir muchas de las características del haz incidente (modo cámara, tiempo, energía, tipo de partícula).
- Los chips se fabrican con dispositivos electrónicos elementales que llamamos transistores, cuyas dimensiones son del orden de decenas de nanómetros.

Las colaboraciones Medipix

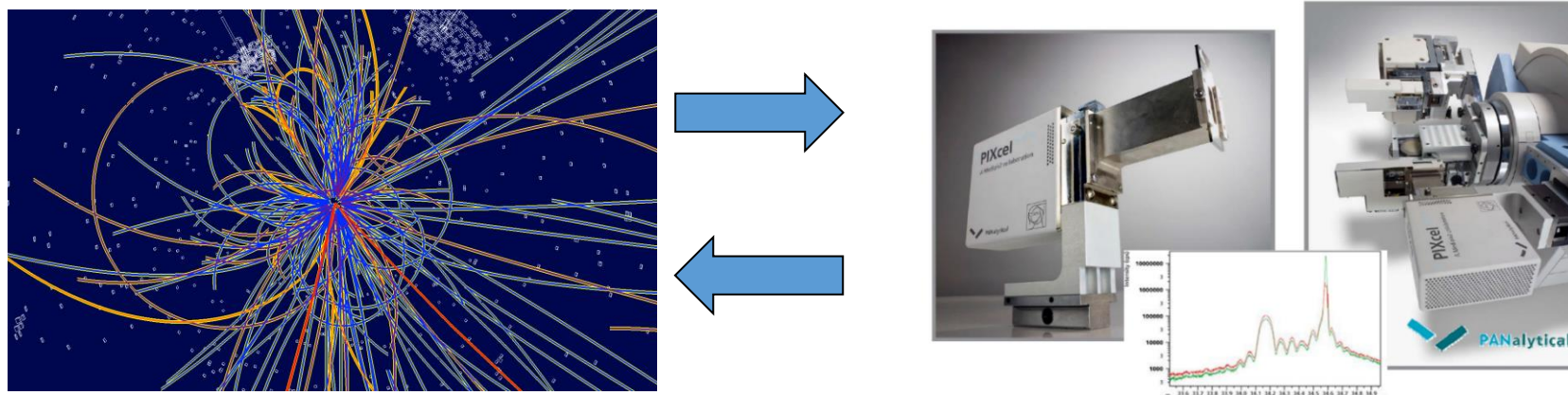






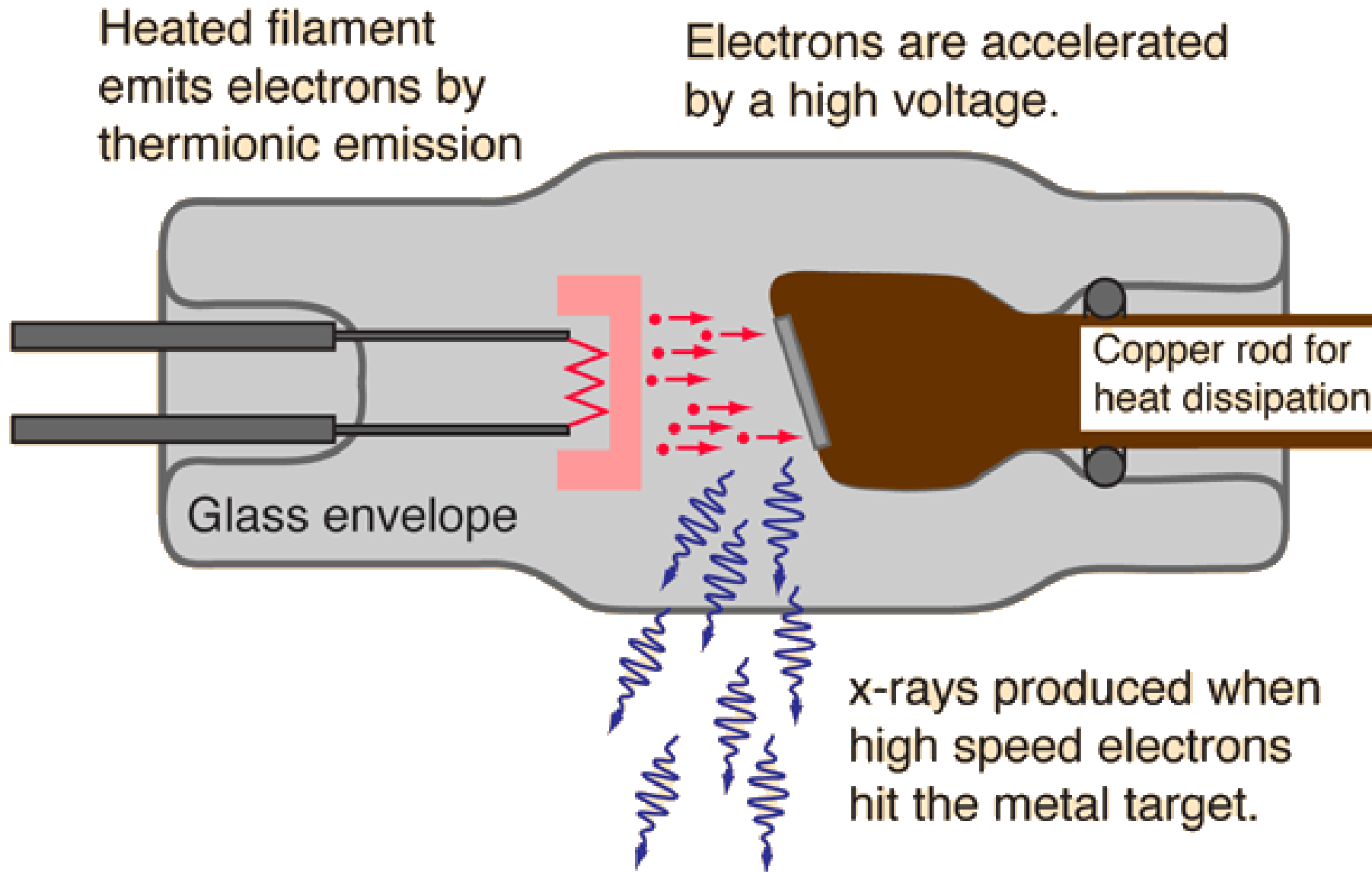
Las colaboraciones Medipix

- Se crearon para desarrollar detectores de píxeles híbridos y sus aplicaciones
 - Chips Medipix: procesado rápido de la información en el pixel
 - Chips Timepix: procesado “off-line” (más información por evento, flujo de partículas inferior)
- ¡Science driven!
- Los chips están diseñados en la sección de microelectrónica del CERN
- Los colaboradores desarrollan sistemas de lectura e instalan los sistemas de detectores en sus aplicaciones
- Cuando los sistemas están bien caracterizados se pueden dar licencias de comercialización (e.g. Medipix3: 2 licencias de exclusividad, 5 de no exclusividad)
- Ejemplo de spin-off y spin-back hacia la física de altas energías

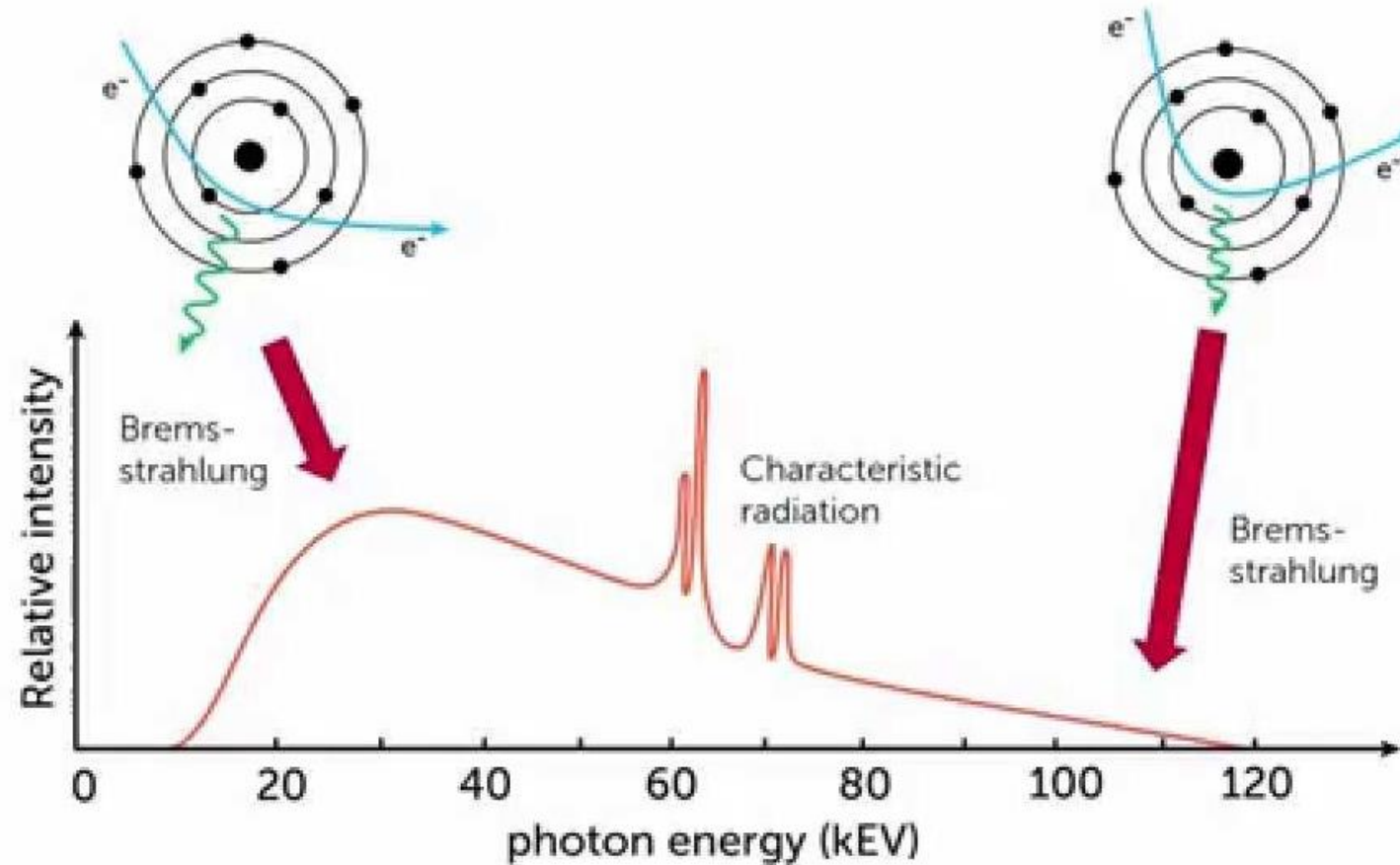


Aplicaciones: Radiografia

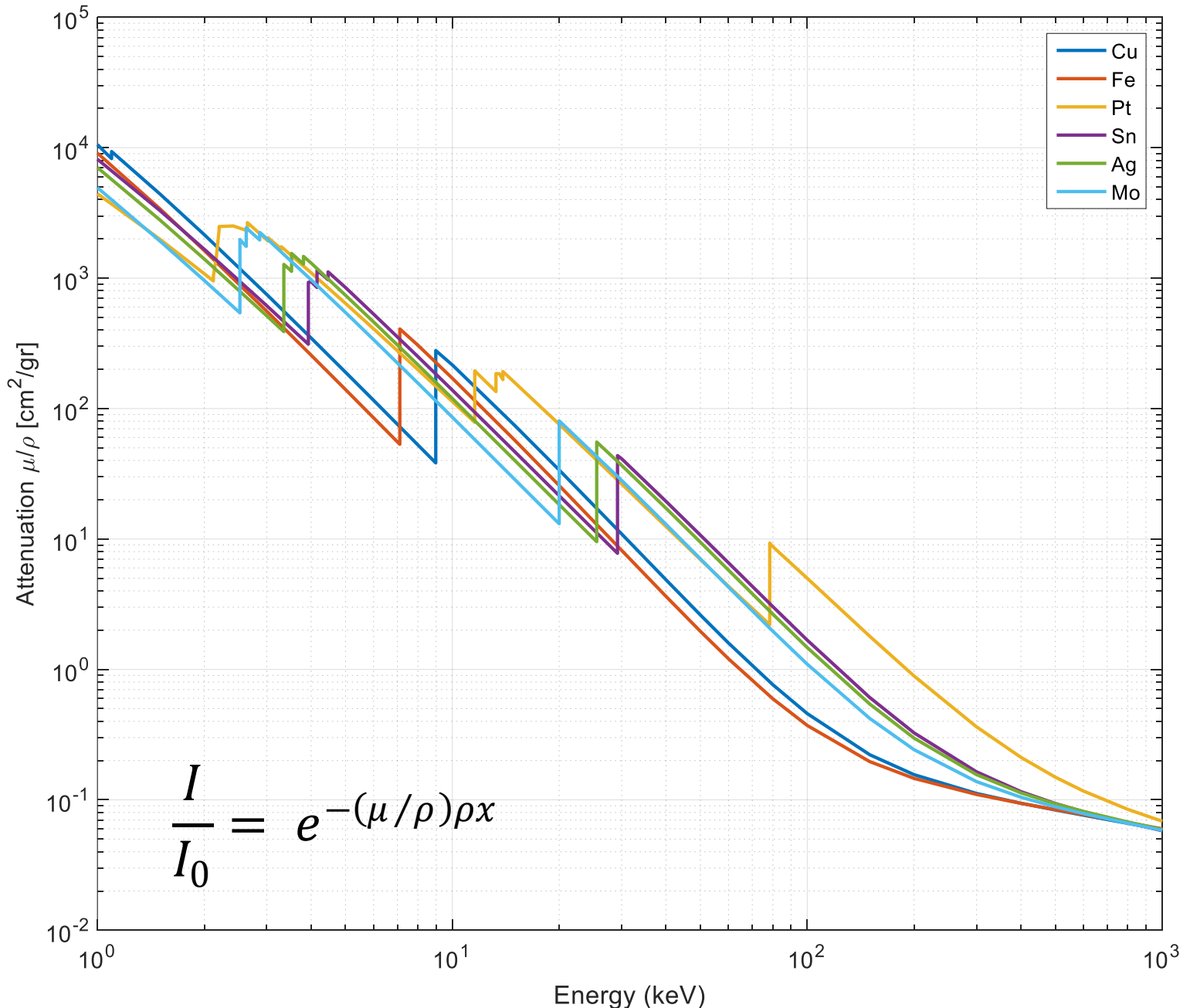
Generación de rayos X

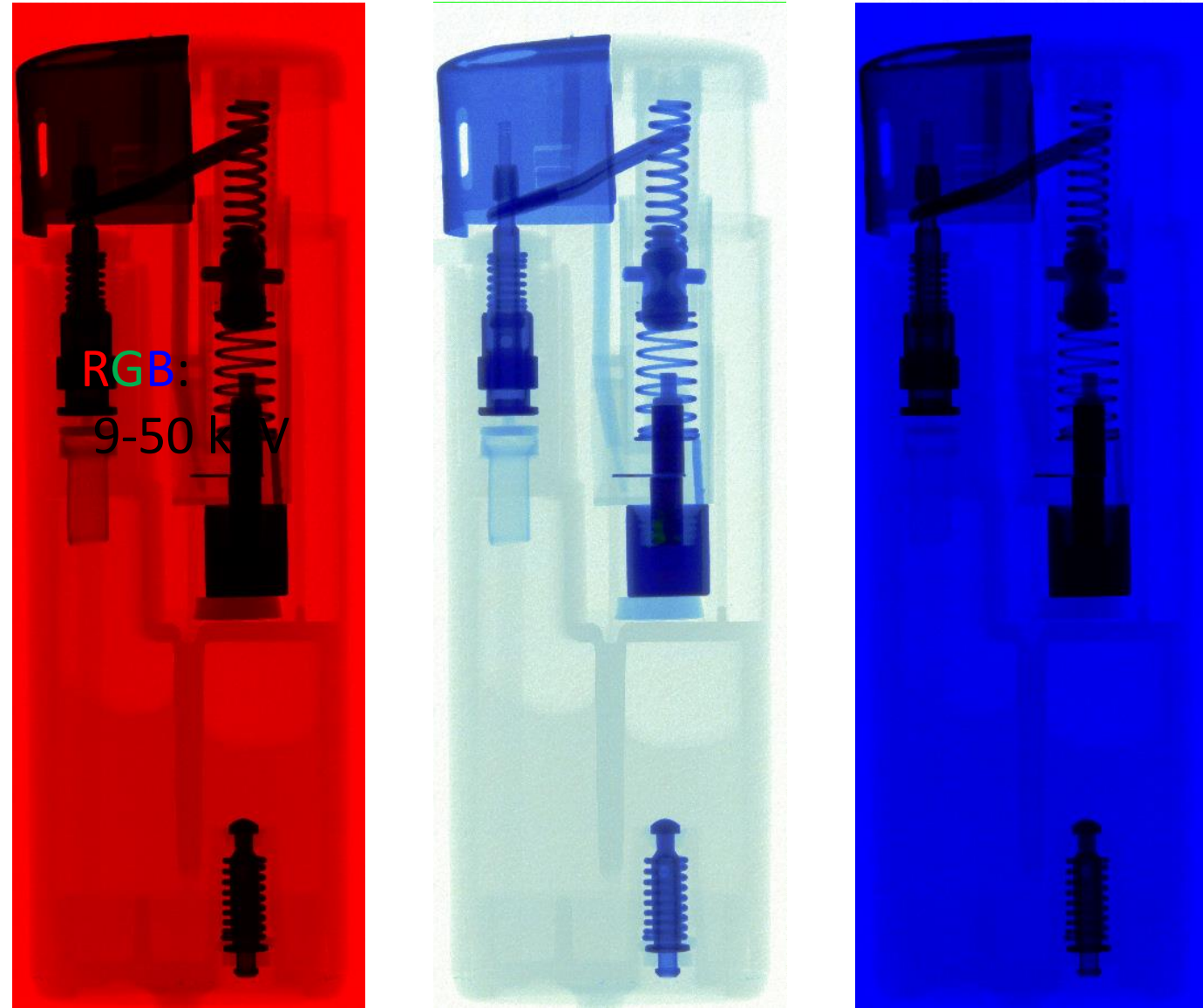


X-ray generation - spectrum

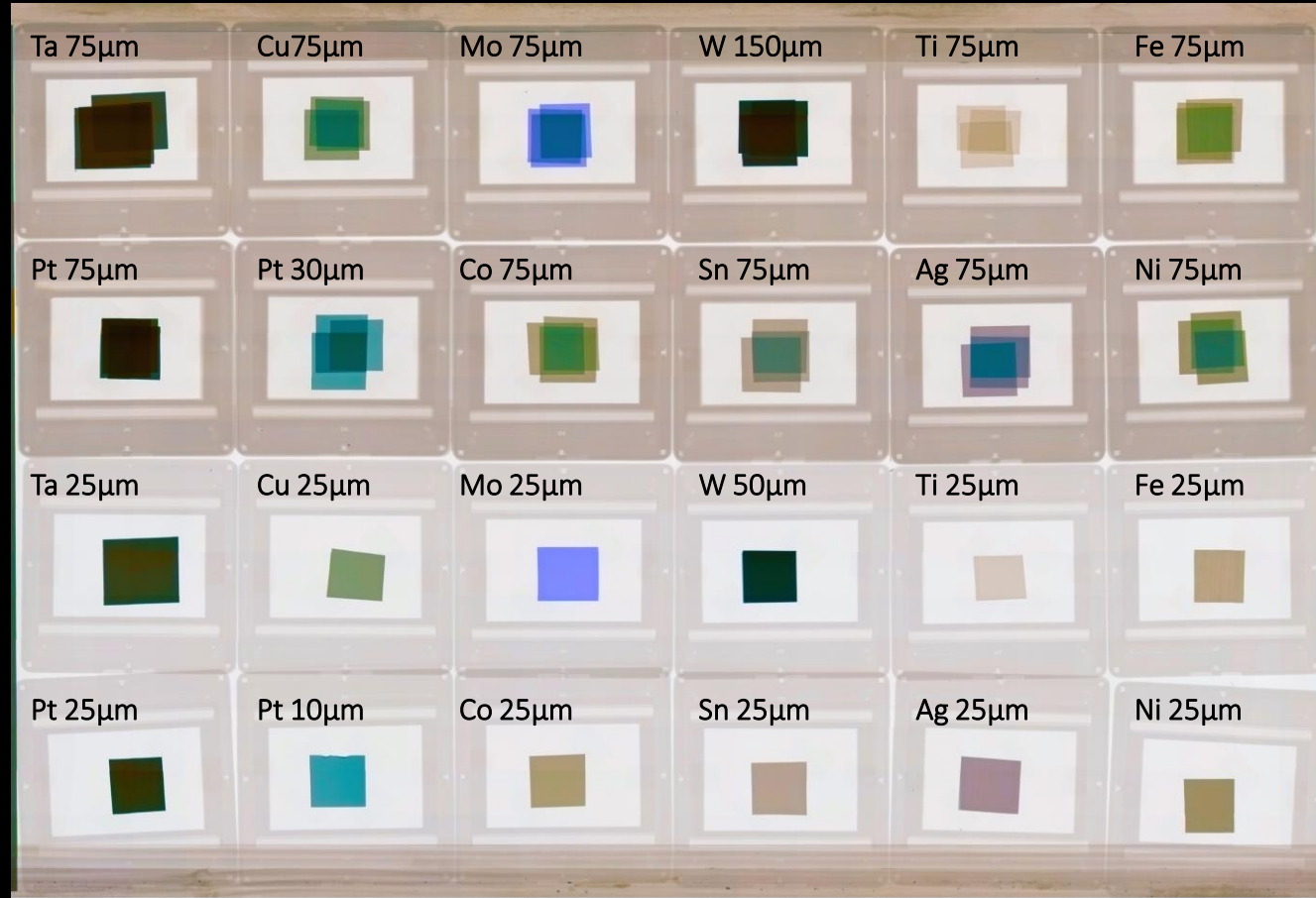


Un electrón de alta energía que impacta el interior de un átomo puede generar fotones de rayos-X por el hecho de que su trayectoria sea desviada por el núcleo atómico sin que altere en su recorrido la estructura electrónica del átomo que ha sido atravesado.





The regular vs “colour” X-ray imaging of test samples



BBC Click on Fake Art – InsightART's X-ray colour imaging of art!

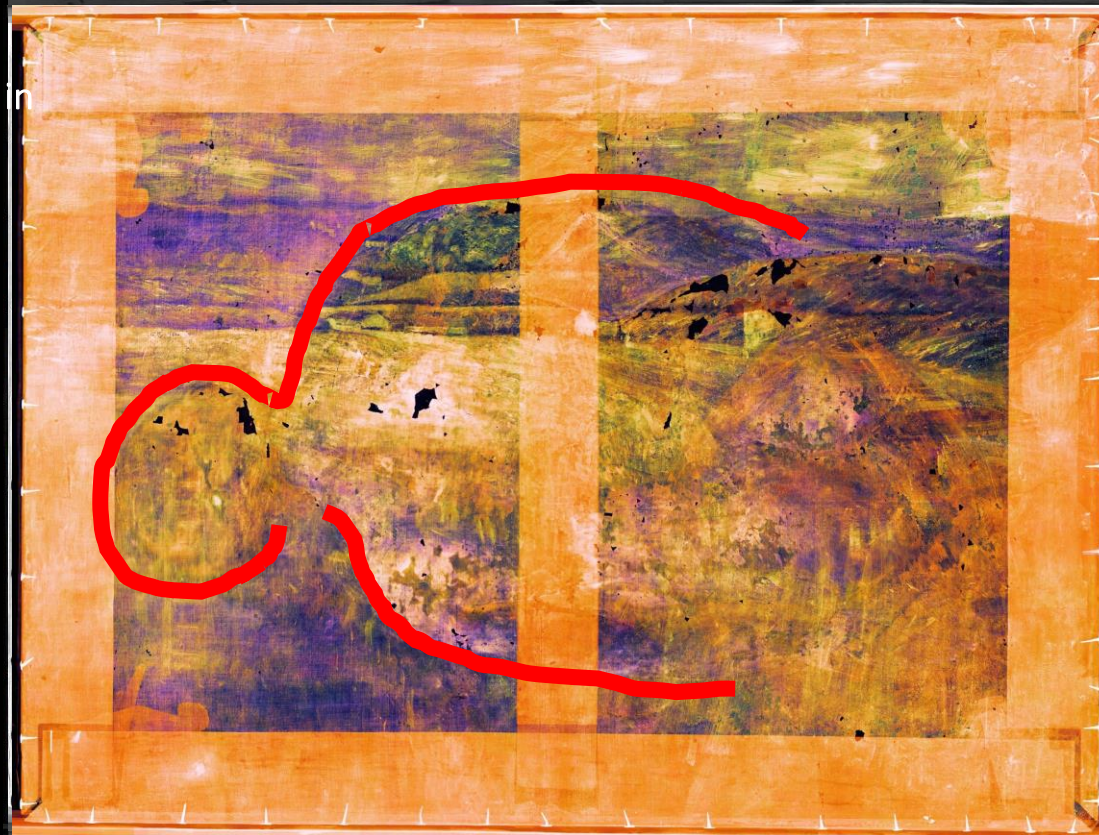
<https://youtu.be/1xUD0BUzgtQ>

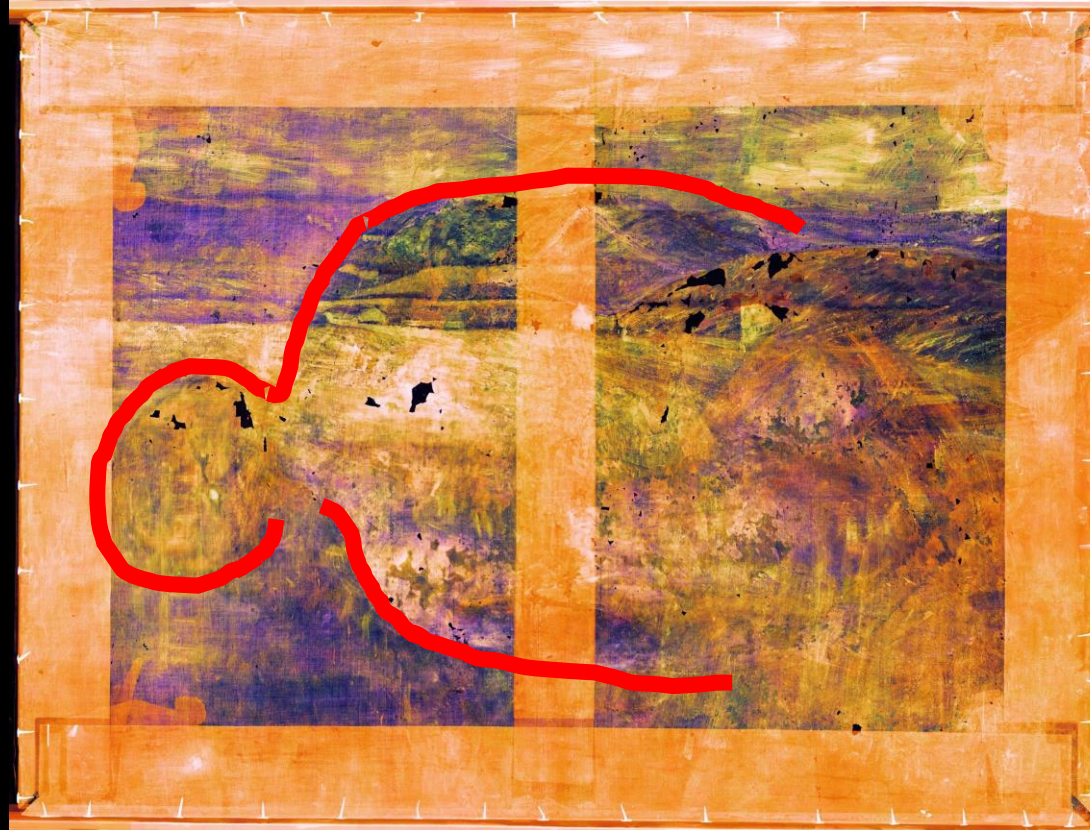
Signed

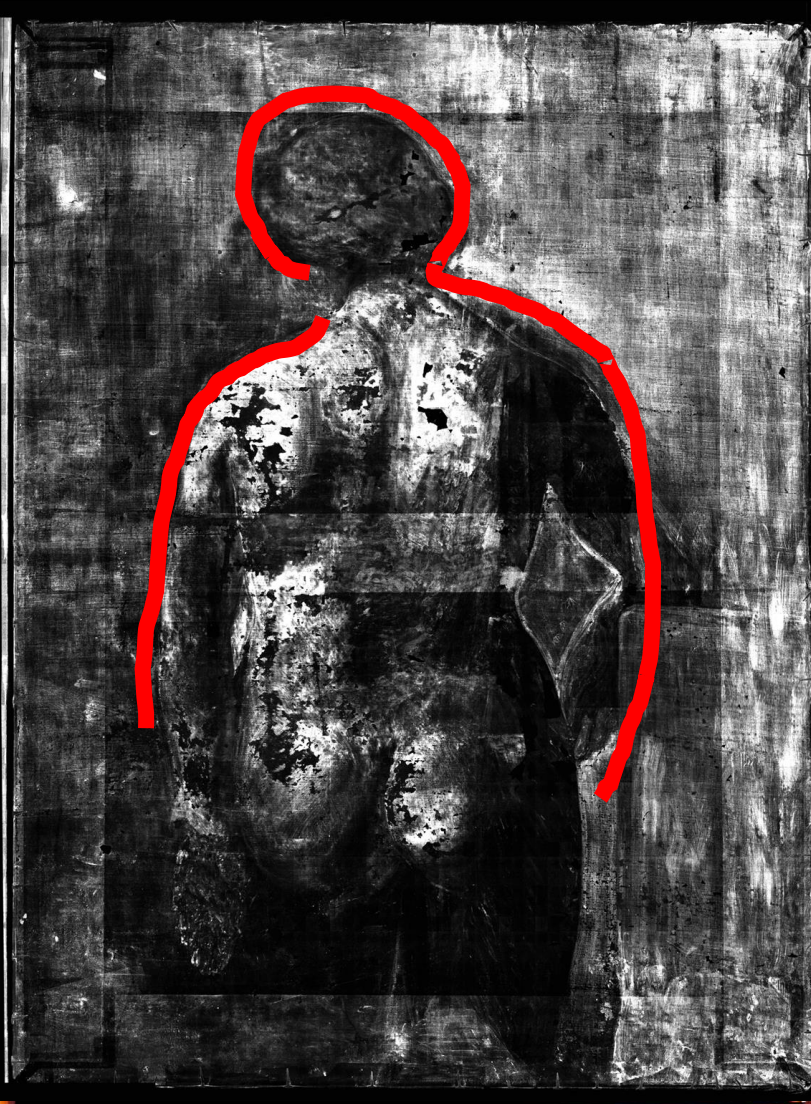
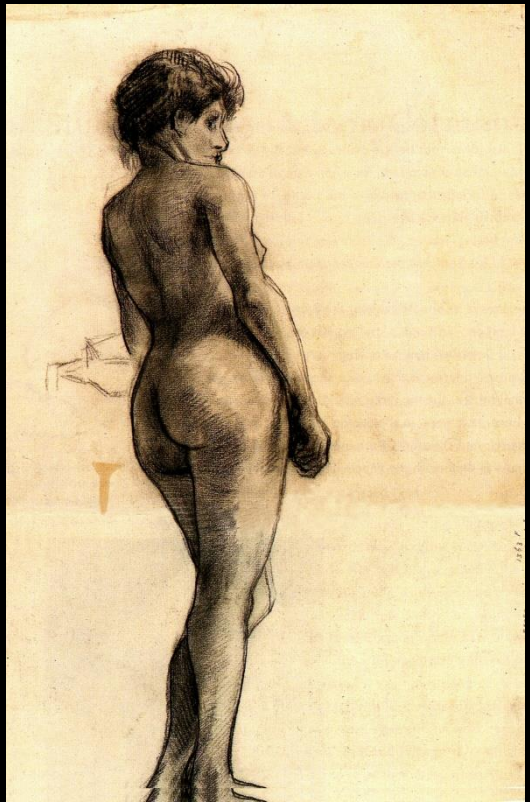
Vincent van Gogh

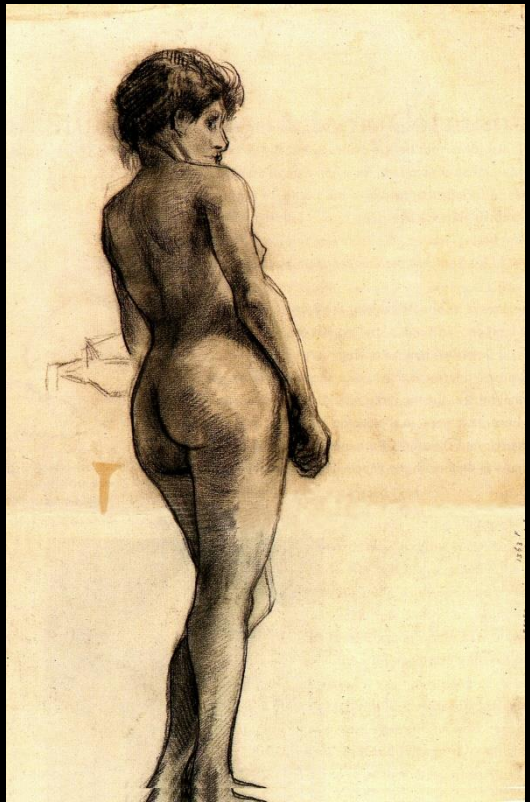
La Crau with Montmajour in
the background

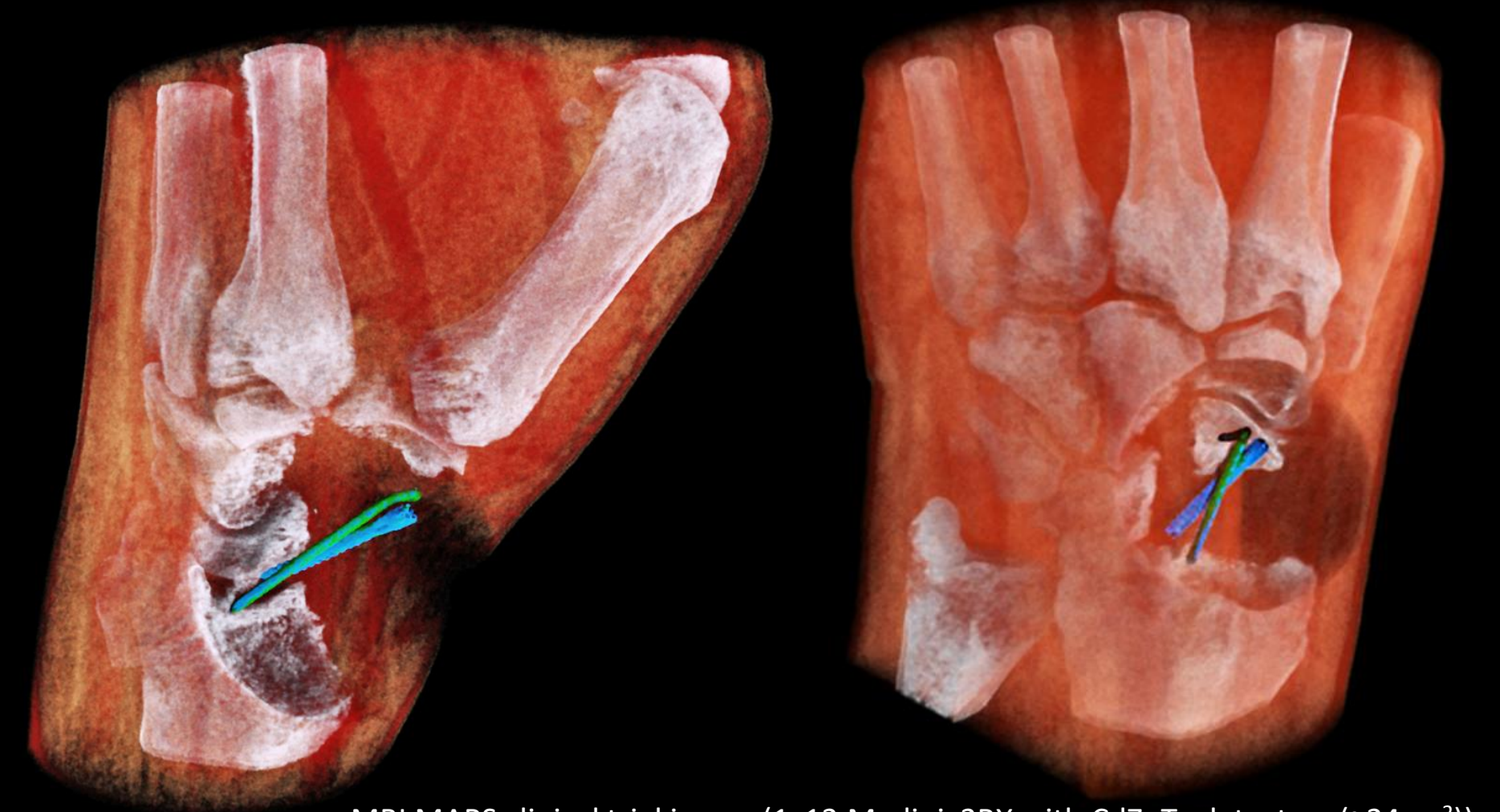
~1888











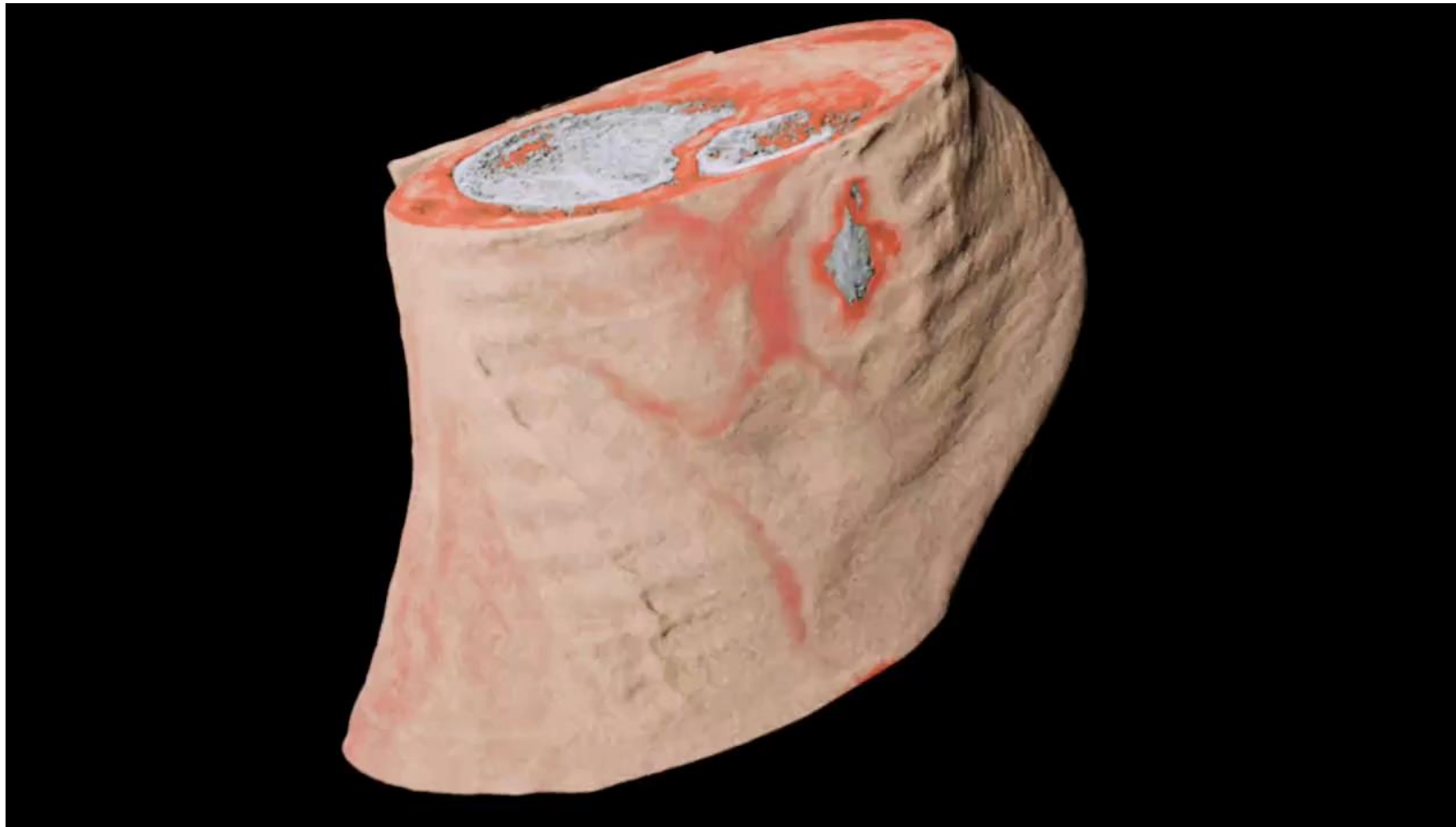
MBI MARS clinical trial image (1x12 Medipix3RX with CdZnTe detectors (~24cm²))
200K pixels
Wrist with titanium screw and steel wire



Scanner installed at Centre Hospitalier
Universitaire Vaudois (CHUV),
Lausanne, Switzerland

Courtesy: MARS team

Movie Slice through Phil's ankle



Slice through Phil's ankle

Conventional imagers

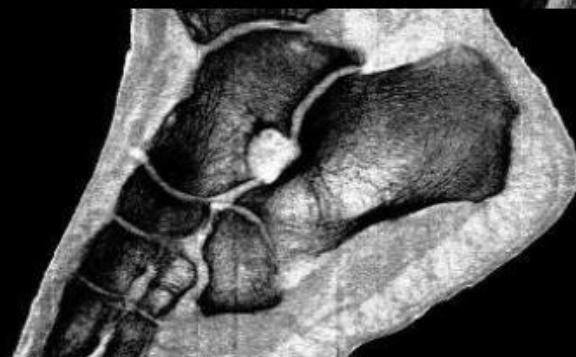


MARS CT

Calcium,
colour it white



Fat,
colour it yellow



Water,
colour it red and
semi-transparent red



Educación

CERN@school



Simon Langton School, Canterbury, England

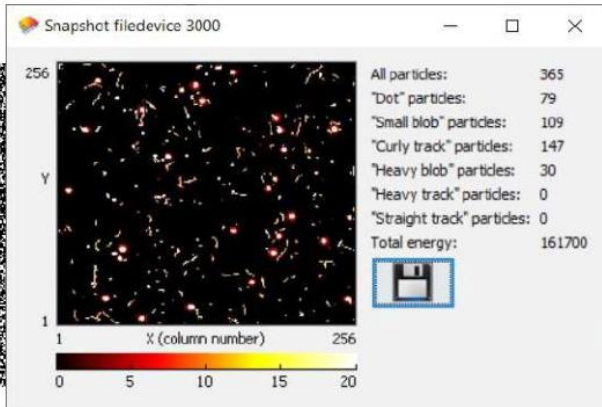
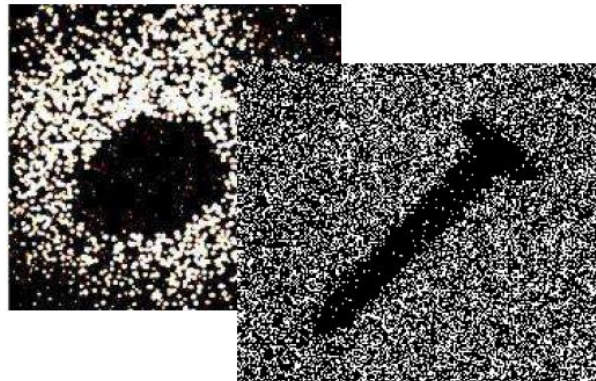
Institute for Research in Schools

The screenshot shows the homepage of the Institute for Research in Schools website. At the top, there's a navigation bar with links to IRIS, Directory | CERN, CERN, Section, Save to Mendeley, Google Maps, Medipix, News, Weather, Travel, Wikipedia, Others, WordReference, and Apple. Below the navigation is the main header featuring the institute's logo (a magnifying glass over a brain) and the text "THE INSTITUTE for RESEARCH in Schools". To the right of the logo, it says "Schools Registered with IRIS" and "00377". There are "JOIN IN", "CONTACT" (with icons for Twitter, Facebook, and YouTube), and a search icon. A horizontal menu bar below the header includes links for ABOUT US, OUR PROJECTS, DOCUMENTS, HOW TO, EVENTS DIARY, SCHOOL OFFERS, PARTNERS, NEWS, BLOG, and VIDEO. A green "Newsletter" button is on the far right. A large banner image of an astronaut in a space suit with a Union Jack patch on the shoulder dominates the center. Overlaid on the banner is a text box containing three dots and the text: "Monitor Tim Peake's radiation levels using Timepix detector chips from CERN". Below the banner, a call-to-action box contains the text "Young people, real science" and "WELCOME TO THE INSTITUTE FOR RESEARCH IN SCHOOLS.". To the right of this box is a green circular quote bubble containing the text "You're never too young to be a research scientist!".

<http://www.researchinschools.org/>

SESTRA

School Education Set with Timepix for Radiation Analysis



Kit Components

- Particle Camera MiniPIX EDU with Timepix detector
- Software (acquisition, online visualisation, etc.)
- SZZ Alfa (241Am, α and γ source, 9.5 kBq)
- DZZ Gamma (241Am, γ source, 300 kBq, *optional*)
- Potassium Salt (β and γ source)
- Thoriated Tungsten Electrode (α , β and γ source)
- Uranium Glass (α , β and γ source)
- Mounting Rails
- Source Holder
- Camera Holder
- Aluminium, Stainless, Copper, Brass and Lead Plates
- Radiography Adapter Head and Samples with Hidden Patterns
- Vacuum Cleaner Grate Adapter
- Transport Case
- USB Cable



IEAP CTU in Prague
Husova 240/5, 110 00,
Prague, Czech Republic
<http://www.utef.cvut.cz/ieap>



<https://medipix.web.cern.ch/>



Advacam s.r.o.,
U Pergmany 12, 170 00,
Prague, Czech Republic
<https://advacam.com/>

TIMEPIX en la escuela Sagrada Familia de Gavà



- Conferencia Mayo 2017
- Curso académico 2017-2018
 - Práctica inicial
 - 4 Trabajos de investigación (Supervisión: D. Parcerisas)
 - Investigación teórica común de los 4 trabajos: Detector TIMEPIX, software PIXETPRO
 - Búsqueda de fuentes radioactivas

- **ADMIRA: Activitats amb Detectors Medipix per Investigar la Radiació a l'Aula**
- Objetivo (Acercar centros de investigación, universidades y escuelas de secundaria alrededor de la física de partículas)
 - Crear una **red de escuelas que comparten dispositivos Timepix** (cortesía de la sección de microelectrónica del CERN)
 - Los profesores comparten dispositivos, experiencias
 - Ofrecemos formación para profesores y estudiantes impartida por expertos
 - Estudiantes de secundaria participan en proyectos científicos reales
 - Trabajar en problemas en los que la solución no se encuentra en la última página
 - Impacto en muchas disciplinas (física, matemáticas, química, tecnología)



The screenshot shows the official website for the Projecte ADMIRA. The top navigation bar includes links for 'Inici', 'Materials', 'Activitats', 'Projectes' (which is highlighted in orange), ' Notícies', 'Subscripció', 'Qui som?', 'ServAstro', 'FQA', and 'ICCUB'. The main content area features a large red banner with the text 'Projecte ADMIRA' and a stylized circular logo. Below the banner, there's a sub-menu with tabs for 'QUI SOM', 'OBJECTIUS', 'ORIENTACIÓS DIDÀCTIQUES', and 'PROJECTE IRS'. A photograph of a person working with scientific equipment is displayed. At the bottom of the page, there's a section with text about the project's objectives and a footer with standard website links.

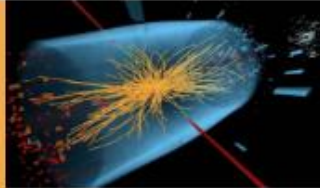
TEAM:

- Experimental Physics Department, CERN: R. Ballabriga, M. Campbell
- Institut de Ciències del Cosmos, University of Barcelona: A. Argudó, E. Pallarès, E. Graugés
- Institut de Desenvolupament Professional, University of Barcelona: L. Casas
- Schools: D. Parcerisas, D. Corrons, I. Huguet



The support from University of Barcelona is key (website, logistics for distributing the kit, access to conference rooms, certificates for teachers attending trainings)

Trabajo de investigación

| | | | |
|--------------------------------------------------------------------------------------------------------------------------------------------------------------------------------|-----------------------------------------------------------------------------------------------------------------------------------------------------------------|-----------------------------------------------------------------------------------------------------------------------------------------------------------------------------------------------------------------------------------------------------------------------------------------------------------------|----------------------------------------------------------------------------------------------------------------------------------------------------------------------------------------------|
| LIBRES I MANUALS |  | LIBRES I MANUALES | INTERACCIONS DE LA MATERIA |
| Desarrollo de una cámara de niebla Desarrollo de una cámara de ni Treball de recerca Autor: Guillermo Galve Barranco Idioma: CA <i>Física de Partículas</i> | Computación numérica aplicada al análisis de datos científicos Treball de recerca Autor: Pol Marcos Payà Idioma: ES <i>Física de Partículas</i> | I BARRERES DE RADIACIÓ  Radiació ionitzant i barreres de radiació Radiació ionitzant i barreres Treball de recerca Autor: Carles Vallès Muñoz Idioma: CA <i>Física de Partícules</i> | Radiació estructura i interaccions de la matèria Radiació estructura i interacc Treball de recerca Autor: Mario Agustiño Batet Idioma: CA <i>Física de Partícules</i> |
| | | | |

Trabajo de investigación

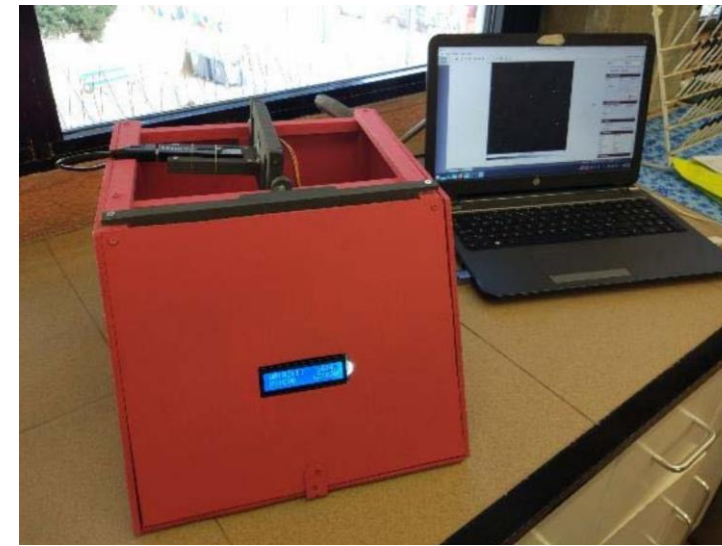
Asignatura de 18 meses en bachillerato

Requiere investigación experimental

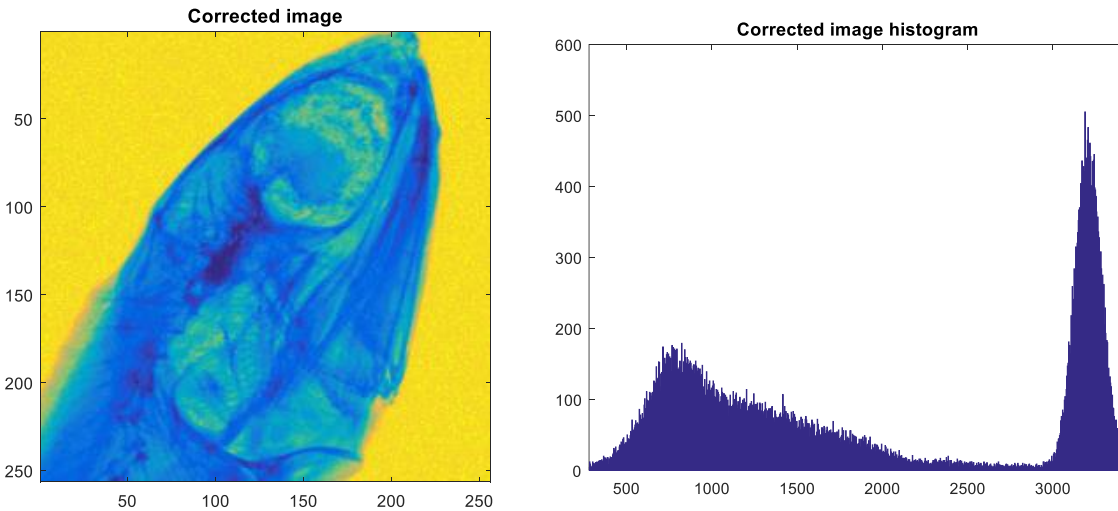
Timepix es una herramienta que permite diversidad de estudios

Trabajo de investigación

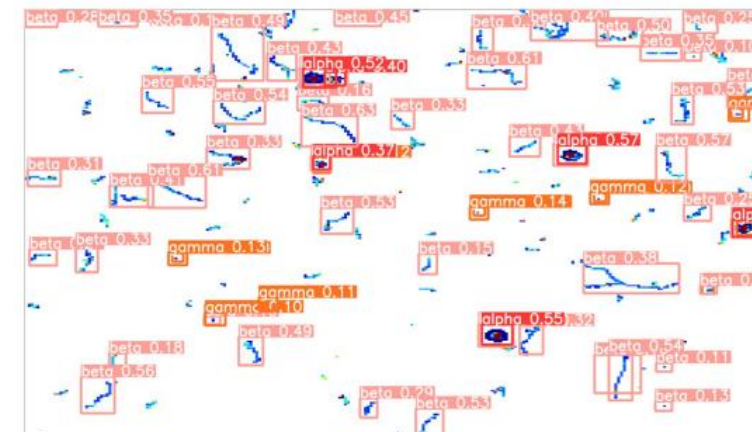
- Dosimetría y radiación de fondo
- Rayos cósmicos
- Salud
- Detectores de partículas
- Computación e inteligencia artificial



Esther Salvador, Sagrada Família, Gavà



Bruguers Miranzo, Julia Gonzalez, Santo Angel Gavà



Ruben Castaño, Sagrada Família, Gavà

Trabajo de investigación

Prácticas

La radioactivitat que ens envolta

Presentació de les pràctiques de radioactivitat a l'aula.

Introducció

En aquest kit de pràctiques de radioactivitat a l'aula es facilita el material necessari perquè el professor pugui realitzar a l'aula un seguit d'experiències en física de radiacions.

L'enfoc d'aquestes experiències es treballar i observar efectes de radiacions beta i alfa sense la necessitat de recórrer a fonts radioactives perilloses per a les persones. La radioactivitat és un fenomen natural que ens envolta, i que moltes vegades els alumnes associon exclusivament a contextos amb dosis de radioactivitat molt elevada i perjudicial per als humans. Amb això, les dues pràctiques presentades en aquests material tenen dos objectius fonamentals:

- 1- Treballar i estudiar els fenòmens de radioactivitat, mitjançant la mesura real i l'anàlisi posterior de les dades experimentals recollides.
- 2- Conscienciar a l'alumnat que els fenòmens de radioactivitat són habituals i estem envoltats d'ells en el nostre dia a dia, lluny d'associar el perjudici de la radioactivitat a exclusivament fonts perilloses per a les persones.

Les pràctiques i el contingut que en elles es treballen estan enfocats idealment per a ser treballat a nivell de batxillerat. Tot i això, són possibles simplificacions en els continguts a tractar i els càlculs a realitzar per part dels alumnes, de forma que pugui ser implementada en cursos d'ESO (més informació a la guia del professor, on es presenta una descripció detallada de les pràctiques, conjuntament amb un solucionari amb mesures reals obtingudes en realitzar les experiències).

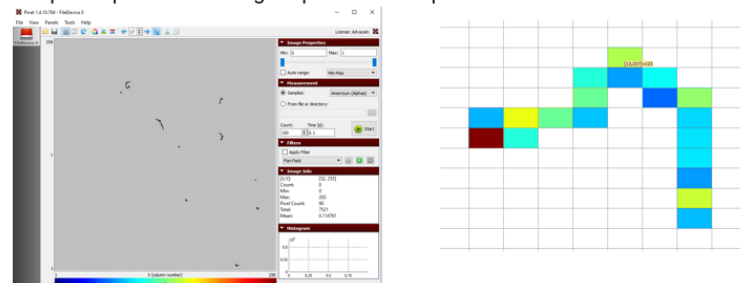
Per realitzar aquestes experiències és altament recomanable tenir accés al sensor TIMEPIX, ja que tant el procés de mesura com de representació de dades resulta molt àgil i eficient. Tot i això, alternatives amb altres aparells de mesura de radiacions poden ser adaptats.

Tot el material descrit s'inclou en un pdf conjunt, el professor interessat pot fer posteriorment ús de les parts que li interessi independentment.

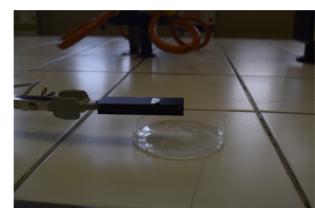
4. Sense utilitzar la mostra radioactiva, obriu la finestra del detector i premeu el botó Start per iniciar la captura de dades.
5. Una vegada acabada l'obtenció de les dades, tanqueu la finestra (el protector del xip).

Quan el procés d'obtenció de dades finalitzi, tanqueu el protector del xip.

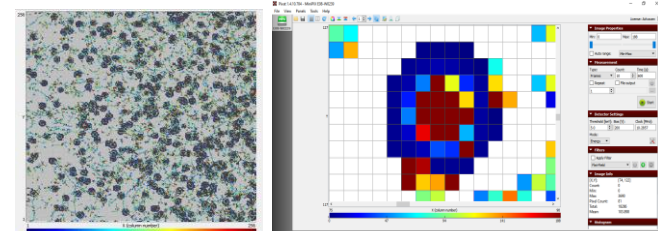
6. Compteu el nombre de Worms (cucs), que són trajectòries llargues i corbades produïdes per la radiació beta d'alta energia. Per assegurar-vos que les partícules beta són d'alta energia, amplia la imatge de cadascuna d'elles, i comprova que la seva energia dipositada és superior als 700 keV.



7. Dividiu el nombre de partícules detectades pel temps transcorregut (600 s). Obtindreu l'activitat de fons.
8. Subjecteu el detector verticalment a un suport amb anella de manera que estigui a un centímetre per sobre del banc, tal i com es mostra a la imatge de sota. Col·loqueu un vidre de rellotge o un tap d'ampolla sota la finestra del detector.



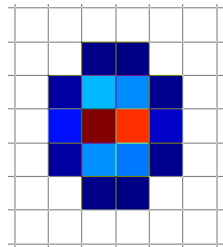
9. Peseu 2 grams de clorur de potassi, i disposeu-lo al vidre de rellotge.
10. Obriu de nou la finestra del detector i premeu el botó Start per iniciar la captura de dades.
11. Una vegada acabada l'obtenció de les dades, tanqueu la finestra (el protector del xip).



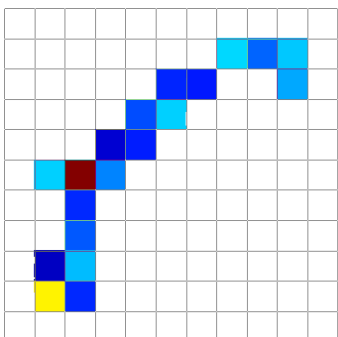
Prácticas

- Práctica de laboratorio

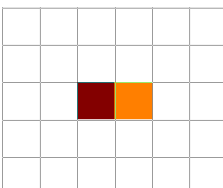
Resultados



Alfa



Beta



Gamma

| | | | | | |
|-------------------------|---------------|---------------|---------------|---------------|---------------|
| Ek [keV] | 10809 | 3912 | 7487 | 6164 | 5497 |
| Ek [J] | 1,73E-12 | 6,27E-13 | 1,20E-12 | 9,87E-13 | 8,81E-13 |
| v [m/s] (relat.) | 22788343,53 | 13728410,69 | 18978555,51 | 17224865 | 16268425,19 |
| v [m/s] (class.) | 22837837,18 | 13739206,06 | 19007111,86 | 17246204,4 | 16286399,46 |
| v/c (relat.) | 0,07596114511 | 0,04576136897 | 0,0632618517 | 0,05741621667 | 0,05422808397 |
| v/c (classica) | 0,07612612395 | 0,04579735353 | 0,06335703953 | 0,05748734801 | 0,05428799819 |
| desviació (%) | 0,2167177617 | 0,07857344563 | 0,1502403333 | 0,1237338907 | 0,1103636552 |

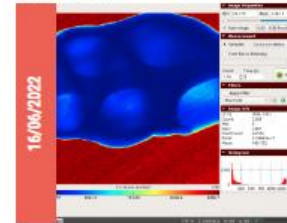
| | | | | | |
|-------------------------|--------------|-------------|--------------|--------------|--------------|
| Ek [keV] | 1953 | 1878 | 2504 | 1282 | 736 |
| Ek [J] | 3,13E-13 | 3,01E-13 | 4,01E-13 | 2,05E-13 | 1,18E-13 |
| v [m/s] (relat.) | 293461408,6 | 293039615,1 | 295648441,5 | 287530123 | 273603963,7 |
| v [m/s] (class.) | 828777947,9 | 812708607 | 938435066,1 | 671476901,6 | 508775245,3 |
| v/c (relat.) | 0,9782046954 | 0,976798717 | 0,9854948051 | 0,9584337434 | 0,9120132124 |
| v/c (classica) | 2,76259316 | 2,70902869 | 3,128116887 | 2,238256339 | 1,695917484 |
| long. ona (m) | 2,48E-12 | 2,48E-12 | 2,46E-12 | 2,53E-12 | 2,66E-12 |

| | | | | | |
|----------------------|----------|----------|----------|----------|----------|
| Ek [keV] | 82 | 72 | 31 | 18 | 68 |
| Ek [J] | 1,31E-14 | 1,15E-14 | 4,97E-15 | 2,88E-15 | 1,09E-14 |
| f (Hz) | 1,98E+19 | 1,74E+19 | 7,50E+18 | 4,36E+18 | 1,65E+19 |
| long. ona (m) | 1,51E-11 | 1,72E-11 | 4,00E-11 | 6,89E-11 | 1,82E-11 |
| p (kg·m/s) | 4,38E-23 | 3,84E-23 | 1,66E-23 | 9,61E-24 | 3,63E-23 |

Formación del profesorado

Aquells professors que s'hagin inscrit al Projecte ADMIRA rebran una formació, reconeguda per l'ICE de la Universitat de Barcelona. Part d'aquesta formació serà oberta a altres professors no participants en el projecte, mentre que algunes de les sessions seran exclusives per al professorat inscrit al programa.

CURSOS



Seminari Advacam en l'ús del Minipix en el món educatiu

El proper dijous dia 16 de juny tindrà lloc el seminari d'iniciació al detector MiniPix de l'empresa **Advacam**.

A càrrec de: Carlos Granja, Advacam Prague
Lloc: [Zoom](#)
Hora: 16:00-18:00

Xerrades a escoles Atòmica i Nuclear/Física de Partícules



Jornada de formació al professorat del projecte ADMIRA

El proper dijous 21 d'abril reprenem les jornades de formació de

A càrrec de: Varis
Lloc: [Facultat de Física de la Universitat de Barcelona](#)
Hora: 16:00-20:00

Cursos
Física de Partícules



1 - Tutorials ADMIRA (1/4): Instal·lació PIXet Pro

Tutorials ADMIRA (1/4): Instal·lació de PIXet Pro

Autor: Daniel Parcerisas - Centre Educatiu Sagrada Família, Gavà

Cursos
Professorat infantil, primària, secundària i FP
Física de Partícules



3 - Tutorials ADMIRA (3/4): Configuració del detector

Tutorials ADMIRA (3/4): Configuració del detector MiniPIX en el programa PIXet Pro

Autor: Daniel Parcerisas - Centre Educatiu Sagrada Família, Gavà

Cursos
Professorat infantil, primària, secundària i FP
Física de Partícules



4 - Tutorials ADMIRA (4/4): Presa de mesures amb el

Tutorials ADMIRA (4/4): Presa de mesures amb el detector MiniPIX i el programa PIXet Pro

Autor: Daniel Parcerisas - Centre Educatiu Sagrada Família, Gavà

Cursos
Professorat infantil, primària, secundària i FP
Física de Partícules



La matèria fosca

Conferència tracta sobre què és la matèria fosca a càrrec de l'astrònom Xavi Luri

A càrrec de: Xavier Luri, ICCUB [IEEC-UB]
Hora: 09:30

Cursos
Professorat infantil, primària, secundària i FP
Física de Partícules
Xavier Luri, ICCUB [IEEC-UB]

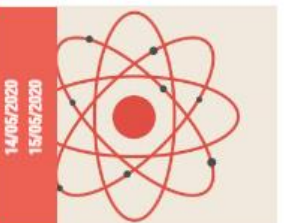


Antimatèria

Aquesta xerrada es du a terme en el context del [projecte ADMIRA](#) (Activitats amb Detectors Medipix per Investigació)

A càrrec de: Lluís Garrido, ICCUB

Cursos
Física de Partícules



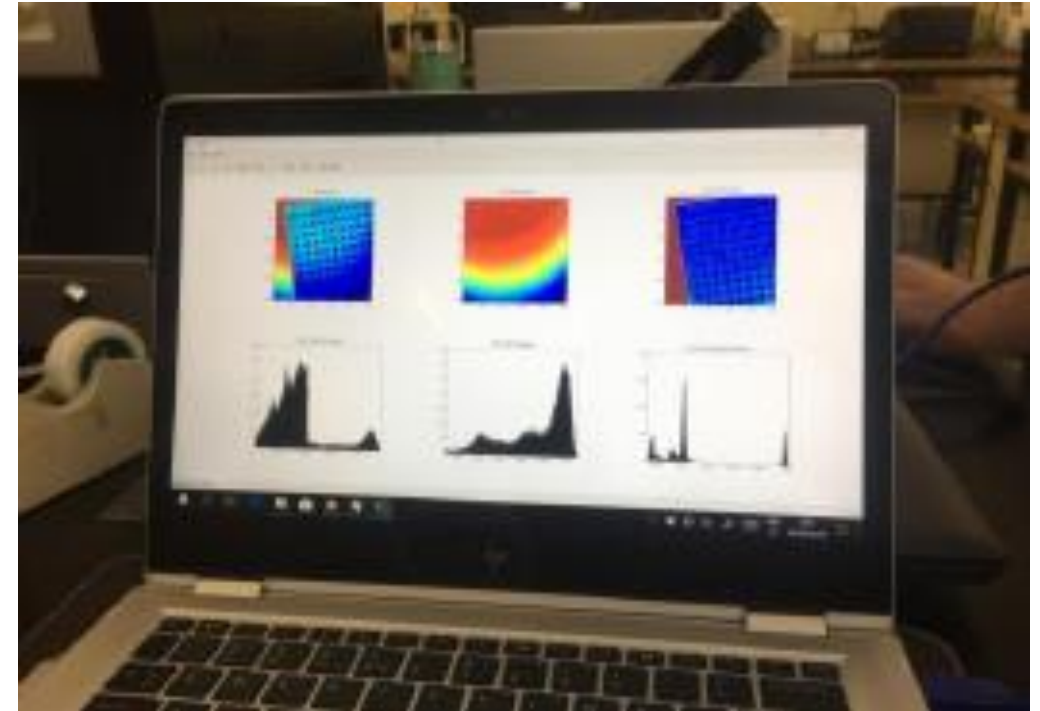
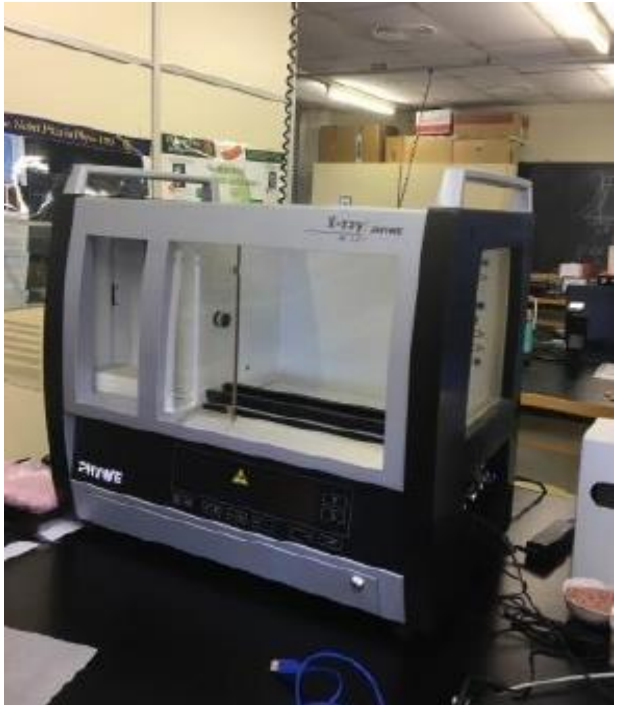
Detectors de partícules semiconductors

La xerrada, dividida en dues parts d'una hora cadascuna, començarà fent una introducció al CERN, als detectors de

A càrrec de: Rafael Ballabriga, CERN

Cursos
Física de Partícules

Visita centros a laboratorios de la UB



Visita escuela Santo Angel Gavà al CERN



Artículos web CERN

The screenshot shows a web browser window with the URL kt.cern/news/news/knowledge-sharing/timepix-based-detectors-bring-particle-physics-classroom. The page title is "Timepix-based detectors bring particle physics in the classroom". The main content discusses the ADMIRA project, which uses Timepix-based detectors to help students experiment with particle physics and contributes to transforming STEM education. A photograph shows a student wearing a face mask and holding a laptop outdoors, with another laptop open in front of them. The CERN logo is visible in the top left corner of the page.

The screenshot shows a web browser window with the URL <https://home.cern/news/news/knowledge-sharing/summer-school-secondary-students-spain>. The page title is "Summer school for secondary students". The main content describes the first international S'Cool LAB Summer CAMP, which took place between University of Barcelona and CERN for secondary students of the Barcelona region. A photograph shows students sitting at desks in a classroom, facing a teacher who is standing near a whiteboard. To the right, there are two sidebar cards: one for the "First International S'Cool LAB Summer CAMP" and another for "Applications for S'Cool LAB Days in 2017/18". Both cards include small images and links to more information.

Artículo científico

OPEN ACCESS

Phys. Educ. 57 (2022) 025018 (14pp)

PAPER

iopscience.org/ped

ADMIRA project: teaching particle physics at high school with Timepix detectors

D Parcerisas^{1,*} , R Ballabriga^{2,*}, E Amorós⁵, A Argudo³,
M Campbell², L Casas⁴, P Christodoulou², R Colomé⁵,
D Corrons⁶, V Curcó⁷, M Enajas⁸, C Granja⁹, E Grauges³,
A Gou¹⁰, E Lleó¹¹, X Llopert², E Pallares³, H Pino¹², S Serra¹³
and G Valero¹⁴

¹ Sagrada Família School, Gavà, Barcelona, Spain

² Experimental Physics Department, CERN, Meyrin, Switzerland

³ Institut de Ciències del Cosmos, University of Barcelona, Barcelona, Spain

⁴ Institut de Desenvolupament Professional, University of Barcelona, Barcelona, Spain

⁵ Vilafant High School, Vilafant, Girona, Spain

⁶ La Salle School, Manlleu, Barcelona, Spain

⁷ La Roca del Vallès High School, La Roca del Vallés, Barcelona, Spain

⁸ Intermunicipal School of Penedés, Sant Sadurní d'Anoia, Barcelona, Spain

⁹ Advacam, Prague, Czech Republic

¹⁰ Quatre Cantons High School, Barcelona, Spain

¹¹ F. X. Lluch i Rafecas High School, Barcelona, Spain

¹² Learn It With Us, Barcelona, Spain

¹³ Terrassa High School, Barcelona, Spain

¹⁴ Joan Brossa High School, Barcelona, Spain



CrossMark

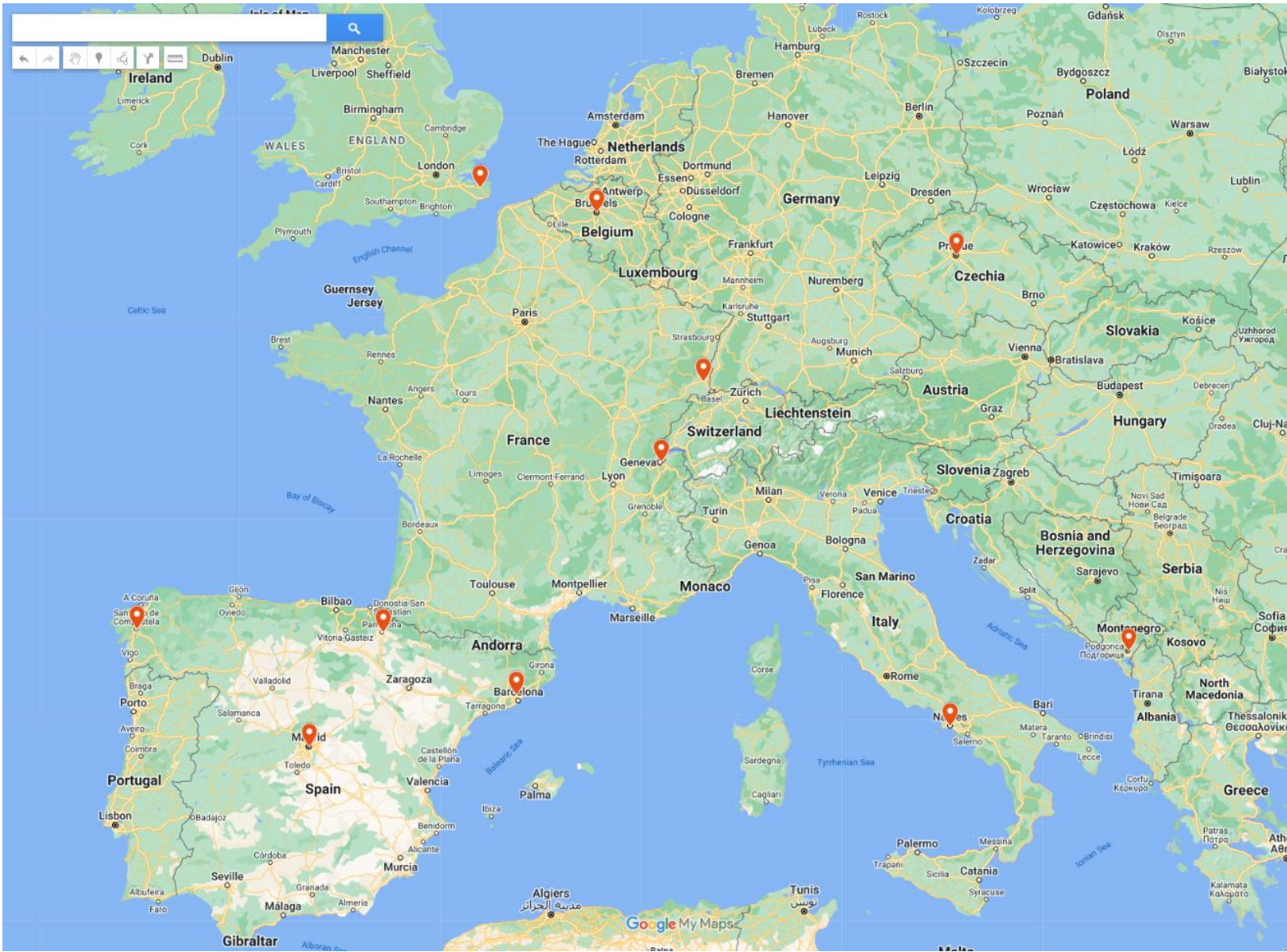
E-mail: d.parcerisas@safagava.edu and rafael.ballabriga@cern.ch

Abstract

This paper presents the case for how students can be helped to increase their scientific vocation by experimental work and the introduction of particle physics into pre-university studies. These two ideas are the two main lines of work of the ADMIRA initiative, which has been created by individuals belonging to different and complementary educational and research institutions. The initiative consists of a network of schools that share Minipix

<https://iopscience.iop.org/article/10.1088/1361-6552/ac4143>

Minipix-Edu kits that have been distributed for educational purposes: The Timepix Teachers Network



Minipix-Edu kits that have been distributed for educational purposes: The Timepix Teachers Network

Proxecto
MEDRA
 IGFAE
Instituto Galego de Física de Altas Enerxías



Other applications

- X-ray materials analysis
 - X-ray non-destructive testing
 - Dosepix chip development
 - Gamma camera
 - Compton camera
 - Low Energy Electron Microscopy
 - Transmission electron microscopy
 - Dose deposition tracking in hadron therapy
 - High resolution neutron imaging
 - Single (visible) photon imaging
 - Time-of-Flight mass spectrometry
- 

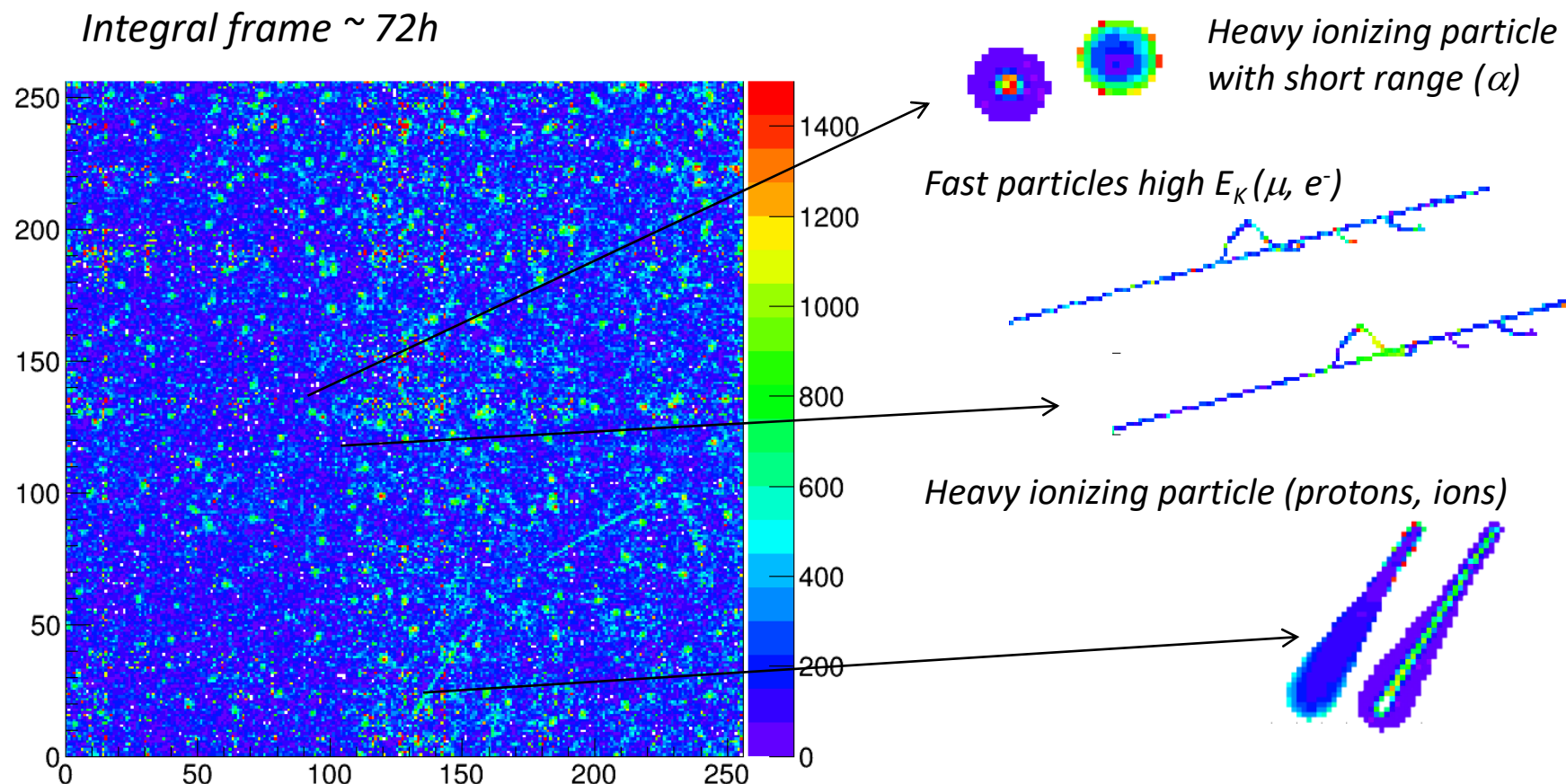
combined with MCP

Applications for CERN/Physics

- LHCb VELOpix chip is directly derived from Timepix3
- LHCb Timepix3 telescope – 80 Mhits/sec
- Sensor studies for CLIC/LHCb
- Background radiation monitoring at ATLAS and CMS
- Beam monitoring in UA9
- Beam Gas Interaction monitor is operating at CERN PS
- ASACUSA experiment
- Beta particle channeling in ISOLDE
- Forward physics using Timepix3?
- Axion search at CAST (with InGrid)
- Large area TPC (with InGrid)
- Transition radiation measurements for ATLAS
- GEMPIX development for radiation therapy beam monitoring
- GEMPIX for ^{55}Fe waste management
- Developments for CLIC: CLICpix, CLICpix2, C3PD

Conclusión

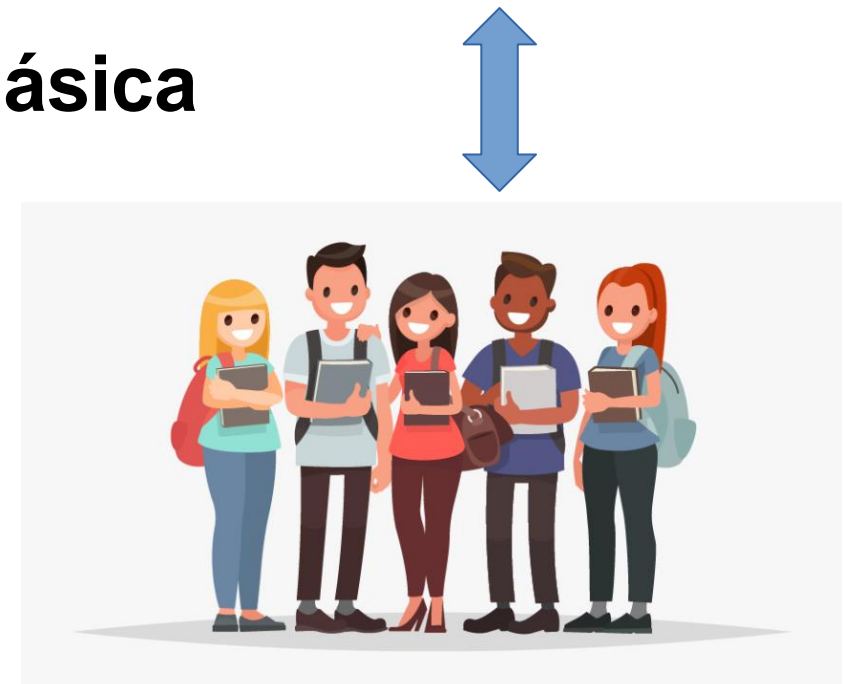
Los Detectores Timepix permiten visualizar la radiación



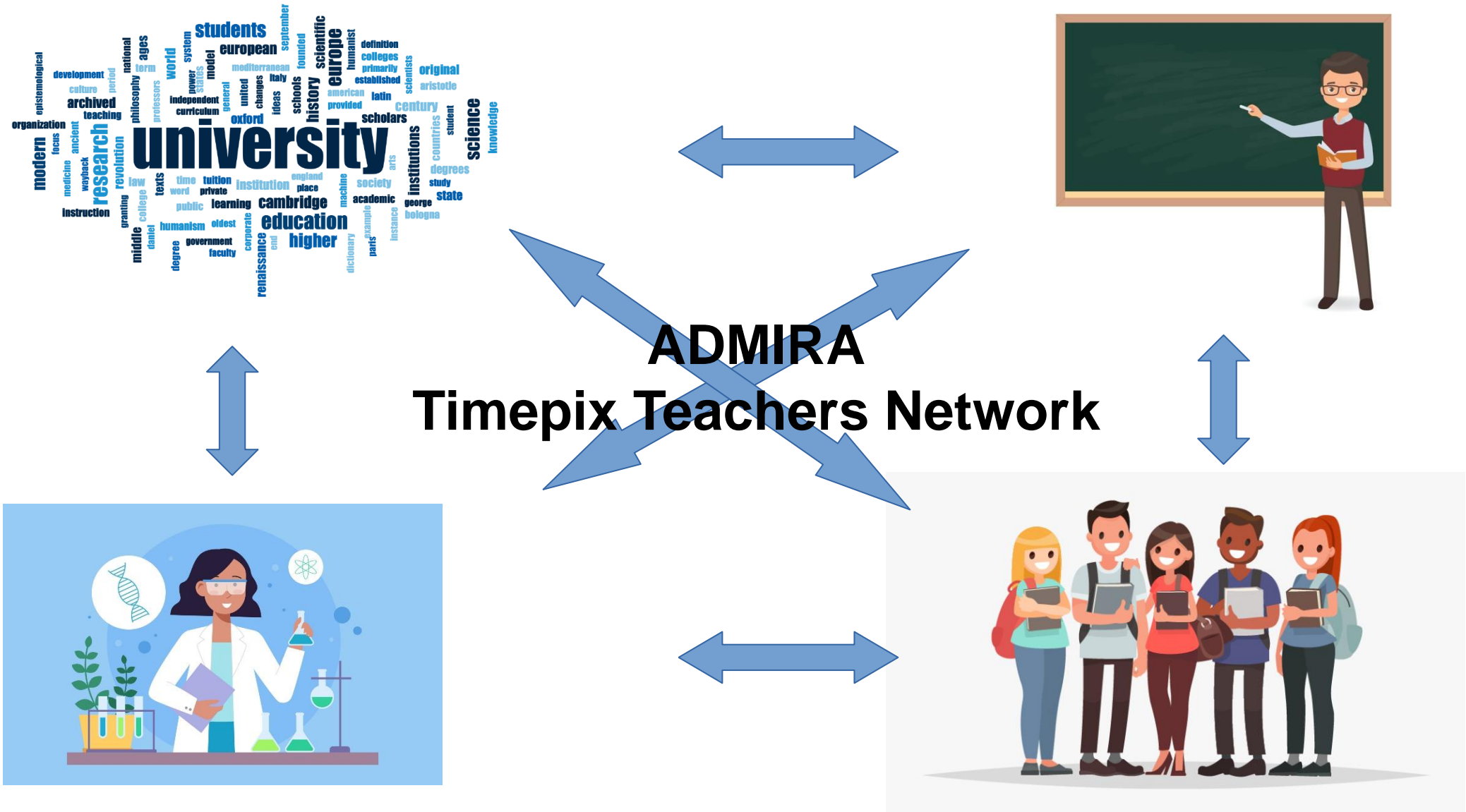
El Ciclo del Conocimiento



Metodología Clásica



El Ciclo del Conocimiento



Muchas gracias

